



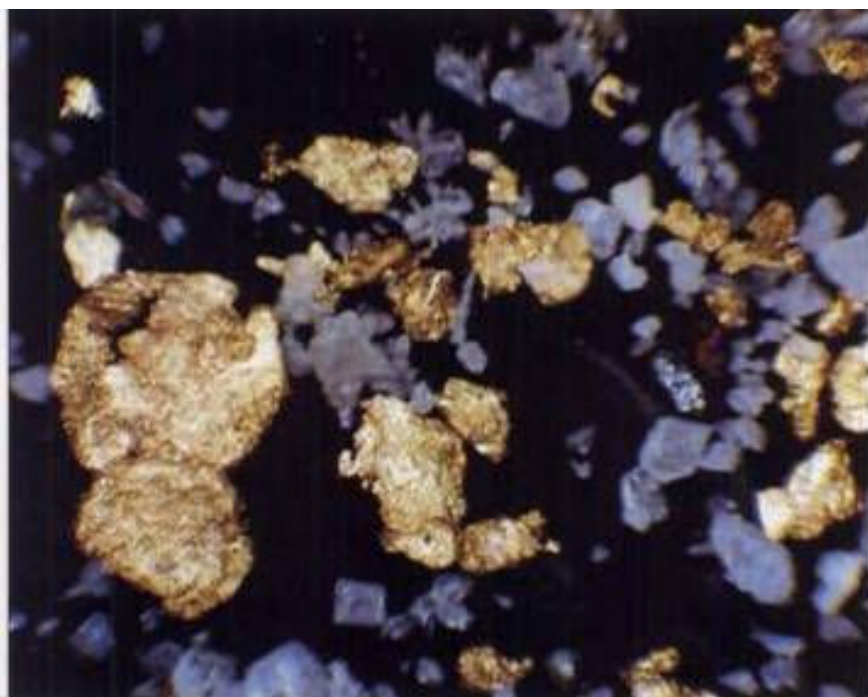
وزارت صنایع و معدن

سازمان زمین‌شناسی و اکتشافات معدنی کشور

معاونت اکتشاف

مدیریت کانه‌آرایی و فرآوری

## بررسی‌های آزمایشگاهی فرآوری کانسار طلای بزمان (فاز اول)



کاری از :

**میرزا آقا محمدی**

با همکاری:

سید عباس فاضلی

مهرماه ۱۳۸۹



## تقدیر و تشکر

سپاس فراوان خداوندی را که توفیق عطا فرمود تا انجام این تحقیق به پایان رسد که در انجام آن افراد زیادی سهیم بودند و بدون شک بدون همکاری و همفکری آن عزیزان انجام این مهم، سخت و دشوار می‌نمود. لذا بر خود لازم می‌بینم که از زحمات افراد ذیل تشکر و قدردانی نمایم:

از جناب آقای مهندی عابدیان معاونت محترم اکتشاف و جناب آقای مهندس امینی مدیریت محترم کانه‌آرایی و فرآوری به خاطر فراهم آوردن مقدمات نمونه‌گیری و پشتیبانی مجده‌انه از کارهای تحقیقاتی.

از جناب آقای مهندس جرجندی به خاطر نمونه‌برداری.

از جناب آقای مهندس زمردیان به خاطر فراهم آوردن اطلاعات زمین شناسی

از تکنسین گروه فرآوری آقای شیرازی به خاطر نهایت دقیق در آماده سازی نمونه و کمک در انجام آزمایشها.

از مدیریت آزمایشگاهها جناب آقای مهندس معمار، سرکار خانم جانبخش، سرکار خانم کریمی و سرکار خانم آجوری به خاطر همکاری و تسريع در آنالیز نمونه‌ها.

از سرکار خانم مهندس نوربخش و خانم مهندس جعفری به خاطر انجام آزمایشات دقیق XRD

## چکیده

کانسار طلای بزمان در شمال خاوری شهرستان پیرانشهر واقع شده است. طبق مطالعات کانی‌شناسی نمونه کانسنگ طلای بزمان حاوی کوارتز، ایلیت و ژیپس بوده و دارای بیش از ۸۰ درصد اکسید سیلیسیم ( $\text{SiO}_2$ ) است که نشان می‌دهد کانسنگ از نوع سیلیسی است.

نمونه کانسنگ طلای بزمان مورد بررسی حاوی  $1/1 \text{ ppm}$  طلا و  $2/95 \text{ ppm}$  نقره است که به روش تقلی در دانه‌بندی  $80\text{-}26$  درصد طلا با عیار  $6 \text{ ppm}$  قابل بازیابی است.

شرایط بهینه برای بازیابی طلا و نقره به روش سیانوراسیون عبارتند از: زمان خردایش (دانه بندی)  $60$  دقیقه ( $d80 = 100 \text{ میکرون}$ )، غلظت سیانور  $1/0$  درصد، درصد جامد  $40$  درصد،  $\text{pH} 10/4$  و  $\text{pH}$  طبیعی محلول) و زمان لیچینگ  $7$  ساعت. در این شرایط  $84$  درصد طلا و  $69$  درصد نقره قابل بازیابی است.

نتایج بدست آمده از آزمایش‌های سیانوراسیون بسیار مطلوب می‌باشد. لذا پیشنهاد شد در صورت وجود ذخیره قابل توجه، اکتشافات تفصیلی ادامه یافته و آزمایشات تکمیلی بر روی نمونه‌های حاصل از حفر گمانه‌ها انجام شود.

## فهرست مطالب

### فصل ۱

۱	۱	- تاریخچه
۲	۳	- مشخصات فیزیکی و شیمیایی
۵	۵	- کانی شناسی طلا
۵	۶	- کانسارها و طبقه بندی مواد حاوی طلا
۷	۷	- روش‌های کانه آرایی کانسنگ‌های طلا
۷	۸	۱- روش ملقطه سازی یا آمالگاماسیون
۸	۸	۲- روش‌های ثقلی
۸	۹	- سیانوراسیون

### فصل ۲

۱۰	۱۰	- موقعیت جغرافیایی و آب و هوایی منطقه
۱۲	۱۲	- وضعیت اجتماعی، اقلیمی و فرهنگی منطقه
۱۲	۱۲	۱- وضعیت اجتماعی
۱۳	۱۲	۲- بارندگی
۱۳	۱۳	۳- عوارض طبیعی استان
۱۳	۱۴	۴- دما
۱۴	۱۴	- زمین شناسی عمومی منطقه (برمبنای نقشه ۱:۱۰۰۰۰ چاه سنگی)
۱۴	۱۴	۱- زمین ریخت شناسی
۱۵	۱۴	۲- زمین شناسی و چینه شناسی
۲۲	۱۵	۳- تکتونیک
۲۵	۲۵	- پیشینه مطالعات و کارهای انجام شده قبلی در محدوده بزمان

## ۵- نمونه برداری تکنولوژیکی ..... ۲۶

### فصل ۳ ..... ۲۸

۱- آماده سازی نمونه ..... ۲۸

۱-۱- آماده سازی کلی نمونه ..... ۲۸

۲- آماده سازی نمونه برای آنالیز کلی و طلا ..... ۳۰

۳- آماده سازی نمونه برای آزمایش های میز لرزان ..... ۳۰

۴- آماده سازی نمونه برای آزمایش های سیانوراسیون ..... ۳۰

۲- اندازه گیری طلا ..... ۳۴

۱-۱- اندازه گیری طلا بصورت جامد ..... ۳۴

۲-۲- اندازه گیری محلولهای سیانوری طلا ..... ۳۵

۳- اندازه گیری سیانور آزاد ..... ۳۶

۴- تخمین سیانور مصرفی توسط کانسنگ ..... ۳۷

۵- آزمایش ثقلی ..... ۳۷

۶- سیانوراسیون همزنی ..... ۳۷

### فصل ۴ ..... ۴۰

۱- شناسایی نمونه ..... ۴۰

۱-۱- تعیین ترکیب شیمیایی نمونه بوسیله XRF و آنالیز تر ..... ۴۰

۲- تعیین کیفی ترکیب کانی شناسی به روش XRD ..... ۴۰

۳- تعیین مقدار طلا و نقره ..... ۴۳

۴- تعیین عناصر مضر از دیدگاه فرآیند ..... ۴۳

۵- وزن مخصوص و رطوبت ..... ۴۴

۶- آزمایش های ثقلی ..... ۴۴

۴۴ .....	۳- سیانوراسیون
۴۴ .....	۳-۱- تخمین سیانور مصرفی
۴۵ .....	۳-۲- سیانوراسیون به روش همزنی
۴۶ .....	۳-۱-۲-۳- ارزیابی بازیابی طلا
۵۲ .....	۳-۲-۲-۳- ارزیابی بازیابی نقره
۵۵ .....	۳-۲-۳-۳- ارزیابی بازدهی اقتصادی

## ۵ ..... فصل

۵۹ .....	۱- نتیجه گیری
۶۰ .....	۲- پیشنهادات
۶۳	پیوستها

## فهرست جداول

جدول(۱-۱): خصوصیات فیزیکی، شیمیایی ، اتمی و ترمودینامیکی طلا	۴
جدول(۲-۱): کانیهای طلا	۶
جدول(۱-۲): موقعیت و میزان نمونه‌های برداشت شده از کانسار بزمان	۲۷
جدول(۱-۳) شرایط انجام آزمایش‌های میز	۳۷
جدول(۱-۴): ترکیب شیمیایی نمونه کانسار طلای بزمان	۴۱
جدول(۲-۴): ترکیب کانی شناسی نمونه کانسنگ طلای بزمان	۴۱
جدول(۳-۴): عیار عناصر مضر از دیدگاه فرآیند	۴۳
جدول(۴-۴): نتایج آزمایش‌های میز لرزان برای بازیابی طلا	۴۵
جدول(۵-۴): عوامل و سطوح آن	۴۶
جدول(۶-۴): طرح آزمایش‌های سیانوراسیون به همراه بازیابی طلا نقره، مصرف سیانور و بازدهی اقتصادی	۴۷
جدول(۷-۴): جدول ANOVA بازیابی طلا	۵۰
جدول(۸-۴): شرایط بهینه بازیابی طلا	۵۱
جدول(۹-۴): فاصله اطمینان برای بازیابی طلا در شرایط بهینه	۵۱
جدول(۱۰-۴): جدول ANOVA بازیابی نقره	۵۳
جدول(۱۱-۴): شرایط بهینه بازیابی نقره	۵۴
جدول(۱۲-۴): فاصله اطمینان برای بازیابی نقره در شرایط بهینه	۵۵
جدول(۱۳-۴): جدول ANOVA بازدهی اقتصادی	۵۶
جدول(۱۴-۴): شرایط بهینه بازدهی اقتصادی	۵۸
جدول(۱۵-۴): فاصله اطمینان برای بازدهی اقتصادی در شرایط بهینه	۵۸

## فهرست اشکال

شکل (۱-۲): نمایی از محدوده اکتشافی چاه نعلی بزمان در فصل زمستان .....	۱۱
شکل (۲-۲): موقعیت جغرافیایی و راههای دسترسی به محدوده چاه نعلی در نقشه ایران.....	۱۱
شکل (۳-۲): عکس-نقشه ماهواره‌ای موقعیت جغرافیایی و راههای دسترسی به محدوده چاه نعلی ....	۱۲
شکل (۴-۲): نقشه زمین‌شناسی اطراف محدوده چاه نلی (برگه زمین‌شناسی ۱:۱۰۰۰۰ چاه سنگی)....	۲۳
شکل (۵-۲): راهنمای نقشه زمین‌شناسی ۱:۱۰۰۰۰ چاه سنگی.....	۲۴
شکل (۱-۳): فلوشیت آماده سازی نمونه .....	۲۹
شکل (۲-۳): فلوشیت آماده سازی نمونه جهت شناسایی نمونه .....	۳۱
شکل (۳-۳): فلوشیت آماده سازی نمونه برای آزمایش‌های میز .....	۳۲
شکل (۴-۳): فلوشیت آماده سازی نمونه برای آزمایش‌های سیانوراسیون .....	۳۳
شکل (۱-۴): نمودار XRD نمونه کانسنگ طلای بزمان.....	۴۲
شکل (۲-۴): نمودار بازیابی-زمان برای طلا .....	۴۸
شکل (۳-۴): نمودار بازیابی-زمان برای نقره .....	۴۸
شکل (۴-۴): نمودار مصرف سیانور .....	۴۹
شکل (۵-۴): نمودار بازدهی اقتصادی-زمان .....	۴۹
شکل (۶-۴): نمودار تاثیر دانه‌بندی بر بازیابی طلا .....	۵۰
شکل (۷-۴): نمودار تاثیر غلظت سیانور بر بازیابی طلا.....	۵۱
شکل (۸-۴): نمودار تاثیر غلظت سیانور بر بازیابی نقره.....	۵۳
شکل (۹-۴): نمودار تاثیر pH بر بازیابی نقره .....	۵۴
شکل (۱۰-۴): نمودار تاثیر دانه‌بندی بر بازدهی اقتصادی .....	۵۷
شکل (۱۱-۴): نمودار تاثیر غلظت سیانور بر بازدهی اقتصادی .....	۵۷



# فصل ۱

## کلیات

### ۱- تاریخچه

طلا اولین عنصری است که توسط انسان شناخته شده است. قدیمی‌ترین یافته‌های باستان شناسی نشان می‌دهد مصریان در حدود ۴۰۰۰ سال قبل از میلاد مسیح و سومریها در حدود ۳۰۰۰ سال پیش از میلاد مسیح با این فلز آشنا بوده‌اند. در کتب تاریخی طلا اولین بار در نوشه‌های هندی به چشم می‌خورد.

در همین دوره مصریان به عنوان ثروتمندترین تمدن تولیدکننده طلا در دنیا قدمی، شروع به پالایش طلا کردند. آنها نیز همانند سومریان از طلا علاوه بر مصارف پولی و مالی، به عنوان زیورآلات استفاده کرده‌اند. اگر چه مصریان در دوره پادشاهان سلسله چهارم تا ششم (۲۷۰۰ تا ۲۲۷۰ سال قبل از میلاد مسیح) از طلا جهت مبادلات اقتصادی استفاده می‌کردند، اما اولین سکه‌های ضرب شده از طلای ناب در زمان پادشاهی کروسوس (۵۶۰-۵۴۶ قبل از میلاد) بوده است. کروسوس حکمران منطقه لیدی قدیم (غرب ترکیه امروزی) بوده است. نشان سلطنتی و صحنه رویارویی روسوس با سر یک شیر و یک گاو نر بر روی این سکه‌ها آنها را به عنوان اولین سکه‌های استاندارد در مبادلات تجاری و بازرگانی جهان آن روز جریان داشت.

در یونان باستان، سکه‌های طلا در سده‌های هفتم و هشتم پیش از میلاد رایج بوده است. در ارمنستان استفاده از سکه‌های طلا در سده اول پیش از میلاد شروع شد. قدیمی‌ترین معادن طلا در هندوستان و نوبیا (آفریقای شمال شرقی) پیدا شده است.

هندي ها اولين بار در كتاب مقدس شان (۴۰۰۰ سال قبل از ميلاد مسيح) به طلا اشاره كرده اند. قديمى ترين معدن طلا (۴۰۰۰ سال قبل از ميلاد مسيح) در بين النهرین، در خاورميانه و مربوط به سومريان بوده است. يافته ها نشان مى دهد که بين سال هاي ۲۶۵۴ تا ۲۶۸۵ قبل از ميلاد در آيدوس (Nagada) و نگده (Abydos) مصر، زرگري مرسوم بوده است. اين زمان به پيش از تاريخ استفاده از نقره برمى گردد . در اين زمان استفاده از طلا در جواهر سازی و تزيينات، بجز برای فرعونيان، خانواده آنها، كاهنین و مقامات بلند پايه ممنوع بود. بر اساس اطلاعات محلی در مصر، طلا برای اولين بار در نيل آبی و معادن خاص گزارش شده به سال ۲۲۰۰ قبل از ميلاد برمى گردد. گنجينه هاي عظيم يافت شده در مقبره فرعون توتانخامون (TutanKhamun) که در سال ۱۳۵۰ قبل از ميلاد مسيح دفن شده، شاهدی بر مهارت های بالای زرگری در مصر است. تابوت او شامل ۱۱۰ کيلوگرم طلای ناب است که چهره وی بر روی آن با دست کنده کاري و تزيين شده است.

صدها سال بعد در تمدن اينکاها (Incas) در آمريکاي جنوبي، طلا ارتباط تنگاتنگی با پرستش خدا پيدا کرد. بطوريكه معبدی برای خورشيد، بنام کوری کانچا (Coricancha) در کوزکو (Cuzco) بنا نهاده شد که پايتخت اينکاها در قرن چهاردهم شد. سقف کاه گلی آن دارای رشته هایي از طلا و روی آن سرشار از تزيينات و سرير زرین بود.

گيريشمن در كتاب «ایران از آغاز تا اسلام» مى نويسد، در دوران هخامنشي در ناحيه کرمان طلا و نقره استخراج مى کردند. باستان شناسان عقиде دارند که در ايران طلا از هزاره سوم قبل از ميلاد مورد استفاده قرار مى گرفته و از آن اشياء زيتى درست مى کردند. برای اولين بار سكه طلا در ايران در دوره هخامنشي ضرب شد. اين سكه «داريک» نام داشت. به طلا در زبان اوستا «زرنه» و «زرنه اينه» و در زبان پارسي باستان «زرنه» و در زبان پهلوی «زر» مى گفتند. از نظر قدمت، قديمى ترين معدن طلائي که اسم آن در تاريخ آمده معدن «سيستان» و پس از آن معدن «کوه زر دامغان» است. فعاليت معدن طلائي مorte اصفهان نيز به احتمال قوي به ۸ هزار سال پيش بر مى گردد . در مorte کارگاههای قديمى (که نشان دهنده استخراج طلا در دوره های گذشته است) در حوزه اي به وسعت ۱۰۰ کيلومتر مربع وجود دارد.

با کشف قاره آمريكا در قرن پانزدهم اسپانيايی ها، طلائي فراوانی را از اين قاره به اروپا منتقل کردند. تلاشهای بيشتر برای کشف ذخایر بيشتر در آمريکاي مرکزی و افزايش توليد طلا با شکست روبرو شد؛ زيرا بيشتر معدن کشف شده حاوي نقره بودند. پس از کشف طلائي برزيل در سال ۱۶۹۱ توليد طلائي جهاني افزايش چشمگير يافت. از سالهای ۱۷۵۰ طلا در مقیاسهای بزرگ در دامنه شرقی اورال استخراج مى شد. طلائي آبراهه در ۱۸۴۰ در سibirی سپس در سال ۱۸۴۸ در کاليفرنیا کشف شد.

کشف طلا در بریتیش کلمبیا واقعه بسیار مهمی بود. در اوخر دهه ۱۸۵۰ در طول رودخانه تامپسون، در سال ۱۸۵۸ در رودخانه فراسر و در سال ۱۸۶۰ در نهرهای ویلیام و لایتنینگ ذخایر مهمی از طلاهای آبراههای کشف شد. طی سالیان متعدد بریتیش کلمبیا به همراه قلمرو و ایالت‌های کانادایی پیشرو در تولید طلا بودند؛ تا اینکه با اکتشاف کانسارهای طلای کیرکلند لیک در سال ۱۹۱۱ جای خود را به اونتاریو داد.

همچنین کانسارهای طلا در استرالیا (۱۸۵۱)، نوادا (۱۸۵۱)، کلورادو (۱۸۷۵)، آلاسکا (۱۸۸۶)، نیوزیلند و غرب استرالیا (۱۸۹۲) و غرب کانادا (۱۸۹۶) کشف شد. این ذخایر اهمیت خود را به سرعت از دست دادند. با کشف ذخایر وايت واترز راند در آفریقای جنوبی در سال ۱۸۸۵ جهش بزرگی در تولید طلا دنیا بوجود آمد. بدین ترتیب آفریقای جنوبی موقعیت بارزی در بازارهای جهانی از نظر تولید طلا را کسب کرده و تولید آن نیز هر ساله رو به افزایش است. در قرن بیستم کشور غنا از نظر تولید طلا موقعیت مناسبی را بدست آورد.

مقدار طلای تولید شده تا زمان سقوط امپراتوری روم ۱۰۰۰ تن و در دوران قرون وسطی ۲۰۰۰ تا ۳۰۰۰ تن تخمین زده شده است. میزان تولید سالیانه طلا در جهان تا زمان کشف قاره آمریکا به ۵ تن در سال رسید. میزان تولید سالیانه طلا در سال ۱۷۰۰ میلادی ۱۰ تن، در سال ۱۸۰۰ میلادی ۱۵ تن، در سال ۱۸۴۸ میلادی ۴۰ تن بوده است. تولید سالیانه طلا در ۱۸۵۲ تقریباً ۲۰۰ تن، در ۱۹۰۴ برابر ۵۰۰ تن، در سال ۱۹۰۷ برابر ۷۰۰ تن و در سال ۱۹۳۶ برابر هزار تن بوده است. رقم فوق هم اکنون ۱۷۰۰ تن است. تا سال ۱۹۹۷ میزان کل تولید طلای دنیا بیش از صد هزار تن بوده که یک سوم آن در بانکهای مرکزی کشورهای صنعتی غرب و مقدار ۲۰۰۰ تن در کروگرندز<sup>۱</sup> نگهداری شده و مقدار جزئی در صنعت و جواهرآلات استفاده می‌شود.

## ۲- مشخصات فیزیکی و شیمیایی

خصوصیات فیزیکی و شیمیایی طلا بطور خلاصه در [جدول \(۱-۱\)](#) آورده شده است. از لحاظ شیمیایی طلا یکی از نجیب‌ترین فلزات به شمار می‌رود. این فلز در تماس به هوا کدر نمی‌شود. در مقابل قویترین محلولهای قلیایی پایدار است و در تماس با تمام اسید‌های خالص، به جز اسید سلینیک، کاملاً مقاوم است. بهترین راه برای انحلال شیمیایی طلا استفاده از تیزاب سلطانی (محلوط یک مول اسید نیتریک و سه مول اسید کلریدریک) است. طلا همچنین می‌تواند با برم در دمای اتاق، با فلوئور، کلر، ید و تلوریوم در دماهای بالاتر ترکیب شود.

<sup>۱</sup> Krugerrands

جدول (۱-۱): خصوصیات فیزیکی، شیمیایی، اتمی و ترمودینامیکی طلا

خصوصیات و ساختار اتمی		خصوصیات فیزیکی	
۷۹	عدد اتمی	جامد	حالت ماده
۱۱	گروه	زرد	رنگ
۶	دوره	۱۹۶/۹۶۶۵	وزن مولکولی
عناصر واسطه	سری	۱۳۳۷-۱۳۴۳ K	نقطه ذوب
۱۹۷	عدد جرمی	۳۱۲۹ K	نقطه جوش
۱/۷۹ Å	شعاع اتمی	۳۳۴/۴ kJ/mol	گرمای تبخیر
۱/۳۴ Å	شعاع کوالانسی	۱۲/۵۵ kJ/mol	گرمای گدازش
۱۰/۲ cm³/mol	حجم اتمی	۱۹۰/۳۰ g/cm³	وزن مخصوص
کوبیک وجه مرکز	ساختار بلوری	۱۰/۲۱ cm³	حجم مولار
$1s^2 2s^2 p^6 3s^2 p^6 d^{10} 4s^2$ $p^6 d^{10} f^{14} 5s^2 p^6 d^{10}$ 6s¹	آرایش الکترونی	۱۲۹ jk⁻¹ kg⁻¹	گرمای ویژه در k
۱۸،۱۸،۳۲،۱۸،۲	تعداد الکترون‌های لایه‌های انرژی	۹۵ %	انعکاس نوری
خصوصیات شیمیایی		$142 \times 10^{-7} K^1$	ضریب انبساط خطی (k) (۲۹۳)
۳ و ۱	حالتهای اکسیداسیون		سختی
+۱/۵۲ V	پتانسیل احیاء استاندارد	۲/۵	موس
۰/۸۵ Å	شعاع یونی	۲۱۶ Mnm⁻²	ویکرز
۲/۵۴	الکترونگانگیوی	۲۴۵۰ Mnm⁻²	برینيل
۸۹۰	انرژی یونیزاسیون (kJmol⁻¹) $Au(g) \rightarrow Au(g) + e^-$	۳۱۹ w m⁻¹ K¹	ضریب هدایت گرمایی (k) (۲۷۳)
۱۹۸۰	انرژی یونیزاسیون (kJmol⁻¹) $Au^+(g) \rightarrow Au^{2+}(g) + e^-$	۲۰/۵ nΩm دیامغناطیس	مقاومت (K) (۲۷۳ K) خاصیت مغناطیسی
-۲۲۲/۸	تمایل به الکترون گیری $Au(g) + e^- \rightarrow Au^-(g)$	$-1/78 \times 10^{-9} m^3 kg^{-1}$ ۱۷۴۰ m/s	قابلیت مغناطیس پذیری (K) (۲۹۳ K) سرعت صوت (K) (۲۹۳ K)
خصوصیات ترمودینامیکی			
$47/4 Jk^{-1} mol^{-1}$	آنتروپی (K) (۲۹۸ K)	$13 kJmol^{-1}$	آنتالپی گدازش در نقطه ذوب
$25/42 k.Jk^{-1} mol^{-1}$	ظرفیت گرمایی مولی	$325 kJmol^{-1}$	آنتالپی تبخیر در نقطه جوش
$K.kJmol^{-1} O_2$ +۵۳/۳	انرژی آزاد تشکیل اکسید $4/3 Au + O_2 \rightarrow 2/3 Au_2O_3$	$366 kJmol^{-1}$	آنتالپی اتمیزاسیون (K) (۲۹۸ K)

### ۳- کانی شناسی طلا

طلاء در طبیعت به صورت خالص، آلیاژ با سایر فلزات، ترکیبات تلوریدی و یا به صورت محلول جامد و کلوئیدی در ساختار سایر کانیها وجود دارد. جدول(۲-۱) مهمترین کانیها و حامل‌های طلا را نشان می‌دهد.

### ۴- کانسارها و طبقه بندی مواد حاوی طلا

در یک نگاه کلی کانسارهای طلا به دو دسته ذخایر رگه‌ای و ذخایر پلاسربی تقسیم بندی می‌شوند. هنلی (۱۹۷۵) محیطهای زمین‌شناسی حاوی طلا را به ۷ طبقه زیر تقسیم بندی کرده است:

- رگه‌های طلا- کوارتز
- ذخایر ابی ترمال
- پلاسربهای جوان
- پلاسربهای فسیل‌دار
- ذخایر طلای افshan
- طلای در کانسنگهای فلزی غیر آهنی
- طلا در آبهای دریا

مک کویستن و شومیکر (۱۹۷۵) نیز از دیدگاه فرآوری و استحصال طلا طبقه بندی زیر را ارائه کردند:

- کانسنگهای طلای خالص، که امکان بازیابی فلزات قیمتی بوسیله ثقلی، آمالگاماسیون و یا سیانوراسیون وجود دارد.
- طلای همراه سولفیدها، که به صورت آزاد و یا افshan در داخل سولفیدها رخ می‌دهند. پیریت‌های طladar با زمینه طلای ریز افshan بسیار مرسوم می‌باشد.
- تلوریدهای طلا، که معمولاً به همراه طلای خالص و سولفیدها رخ می‌دهند. کالاوریت و کرنزیت کانیهای هستند که حاوی حدود ۴۰ درصد طلا می‌باشند و سیلوانیت حاوی ۲۵ درصد طلا و تا ۱۳ درصد نقره است.
- طلا در سایر کانیها به صورت آرسنیک و یا آنتیموان (یعنی آوررواستینیت،  $AuSb_2$ )، با پرفیرهای مس (سلنید و تلورید)، با کانیهای روی و سرب و مواد آلی می‌باشد.

جدول (۱-۲): کانیهای طلا

کانی	فرمول شیمیایی
عناصر خالص، آلیاژها و ترکیبات فلزی	
طلای خالص ( $> 20$ درصد مول نقره)	Au
الکتروم (۲۰-۸۰ درصد مول نقره)	(Au,Ag)
طلای پلادیمی (بورپزیت)	(Au,Pd)
طلای رادیومی (رودیت)	(Au,Rh)
طلای اریدیومی	(Au,Ir)
طلای پلاتینی	(Au,Pt)
طلای آمالگام	(Au,Ag)Hg
ویشانیت	(Au,Ag) <sub>3</sub> Hg <sub>2</sub>
مالدونیت	Au <sub>2</sub> Bi
آوری کوپراید	Cu <sub>3</sub> Au
تترا آوروکوپراید	AuCu
هونچنیت	Au <sub>2</sub> Pb
بوگدانوویت	Au <sub>5</sub> (Cu,Fe) <sub>3</sub> (Te,Pb) <sub>2</sub>
بزسمرت نوویت	Au <sub>4</sub> Cu(Te,Pb)
سولفید/سلنیت	
یوتینوگا آردیت	Ag <sub>3</sub> AuS <sub>2</sub>
فیشسریت	Ag <sub>3</sub> AuSe <sub>2</sub>
پتروسکائیت	AuAg(S,Se)
تلوراید	
کالاوریت	AuTe <sub>2</sub>
کربنیت	(Au,Ag)Te <sub>2</sub>
موتمانیت	(Au,Ag)Te
پترایت	Ag <sub>3</sub> AuTe <sub>2</sub>
سیلوانیت	(Au,Ag) <sub>2</sub> Te <sub>4</sub>
کوستوویت	CuAuTe <sub>4</sub>
مونت برایت	(AuSb) <sub>2</sub> Te <sub>3</sub>
ناگیاگیت	Pb(Pb,Sb)S <sub>2</sub> ] [Au,Te]
سیلیکاتها/سایر	
کلریت های آرسنیک دار	(Mg,Al,Fe) <sub>12</sub> [(Si,Al) <sub>8</sub> O <sub>20</sub> ](OH) <sub>16</sub>
آور و آنتیمونات	AuSbO <sub>3</sub>

## ۵- روش‌های کانه آرایی کانسنگ‌های طلا

روشهای مختلفی برای فرآوری کانسنگ‌های طلا وجود دارد که باید با مطالعاتی که بر روی کانسنگ انجام می‌شود روش مناسبی برای فرآوری آن انتخاب کرد. اگر طلا به صورت ذخایر آبرفتی باشد برای فرآوری آن روش‌های ثقلی مناسبترین روش است؛ اگر طلا به صورت آزاد یا ناتیو باشد روش ثقلی پیش فرآوری و روش نهایی آمالگاماسیون است، اگر به صورت ذرات خیلی ریز در داخل سنگ باشد روش سیانوراسیون قابل توصیه خواهد بود و اگر طلا به صورت ترکیب با کانیهای دیگر باشد فرآوری مشکلت‌تر و پیچیده تر می‌شود و هزینه سرمایه گذاری لازم برای فرآوری و استحصال کانسارهای پیچیده طلا زیاد می‌شود. حتی بعضی از کانسارهای طلا وجود دارند که هنوز روش فرآوری مناسبی برای آنها پیدا نشده است. در زیر به روش‌های مختلف فرآوری طلا اشاره می‌شود.

### ۱-۱- روش ملقمه سازی یا آمالگاماسیون

در طی سالیان مديدة، روش ملقمه‌سازی عمدت‌ترین روش برای جداسازدن طلا و نقره آزاد یا طبیعی از کانه‌های حاوی آنها بوده است. اساس این روش بر خاصیت جذب طلا و نقره توسط جیوه استوار است. با استفاده از این روش به سادگی می‌توان طلا را از دیگر کانیهای باطله جدا نمود. این روش برای کانسارهایی که طلای آزاد با عیار قابل ملاحظه‌ای دارند کاربرد دارد. در ابتدا از این روش به تنها یی استفاده می‌شد، ولی بعد از رواج یافتن روش سیانوراسیون، روش ملقمه سازی به عنوان روش مکمل سیانوراسیون به کار برده می‌شود.

معمولًا در این روش ماده معدنی تا ۷۵ درصد زیر ۷۵ میکرون (۲۰۰ مش) خرد شده و سپس پالپی به غلظت ۴۰ درصد وزنی جامد تهیه می‌شود. پالپ به داخل آسیای گلوله‌ای انتقال یافته و حداقل به اندازه وزن طلا و نقره موجود در ماده معدنی جیوه به آن اضافه می‌شود (البته برای اطمینان مقدار جیوه همیشه ۱۰ تا ۲۰ درصد بیشتر از وزن طلا و نقره موجود است). پس از اضافه کردن تعداد کمی گلوله، آسیا به مدت ۲ تا ۱۲ ساعت کار می‌کند. پس از آنکه طلا و نقره کاملاً جذب جیوه شد محتويات آن خارج و داخل آسیا کاملاً تمیز می‌شود. در زیر آسیا چند میز که با هم اختلاف ارتفاعی حدود ۱۰ تا ۱۵ سانتی متر دارند وجود دارد و سه عدد ظرف جداگانه در بین میزها قرار دارد. پالپ حاوی ملقمه خارج شده از داخل آسیا به روی میزهای خوراک دهی می‌شود. این میزها از جنس مس ساخته شده‌اند و روی آن جیوه اندود شده است. هنگامی که پالپ به آرامی از روی این میزها عبور می‌کنند، ذرات جیوه حاوی طلا که در کف میز حرکت می‌کنند به میز

می‌چسبند. سپس روی میز را شستشو می‌دهند تا گل و لای آن کاملاً جدا شود. جیوه‌ی روی میز را جمع آوری می‌کنند. این محصول فیلتر می‌شود(برزن特 یا چرم) تا دانه‌های طلا و نقره از جیوه جدا شود. طلا و نقره باقیمانده بر روی فیلتر جمع آوری می‌شود. این محصول دو برابر وزنی طلا و نقره موجود جیوه دارد که در رتورت عمل آوری می‌شود تا جیوه بخار شود. پس از آن طلا و نقره بدست آمده به بخش ذوب ارسال می‌شود.

## ۲-۵ - روش‌های ثقلی

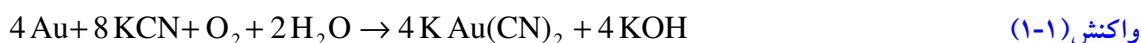
در این روش‌ها از اختلاف وزن مخصوص کانیهای مختلف برای جدایش آنها از یکدیگر استفاده می‌شود. در قدیم از این روش برای استخراج طلا از ذخایر آبرفتی (پلاسراها) استفاده می‌شد. معمولاً از این روش برای جدا کردن ذرات طلا درشت دانه استفاده می‌شود. اگرچه اخیراً شرکت‌های سازنده تجهیزات کانه‌آرایی، دستگاه‌هایی(مانند جداکننده نلسون و نادسن) را معرفی کرده‌اند که توان بازیابی ذرات طلا تا ابعاد یک میکرون و حتی کمتر را دارند.

از روش‌های ثقلی کمتر به صورت مستقل در بهره برداری از معادن و استحصال طلا استفاده می‌شود و اکثرًا از این روش به همراه روش سیانوراسیون و ملقمه سازی استفاده می‌شود. از کنسانتره یا محصول پر عیاری که از روش‌های ثقلی بدست می‌آید می‌توان طلا را به روش ملقمه‌سازی جدا کرد. جداکننده‌های ثقلی به چند گروه تقسیم می‌شوند که اساس کار همه آنها یکی است، ولی مکانیزم جداسازی(جدایش در لایه نازک و یا جریان قائم) در آنها متفاوت است.

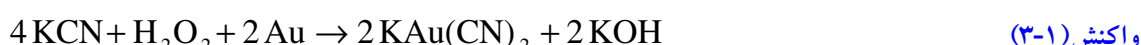
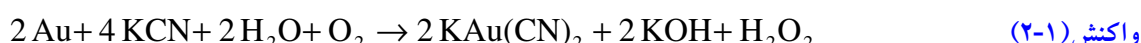
## ۶ - سیانوراسیون

سیانوراسیون مهمترین روش فرآوری طلاست. انحلال طلا توسط سیانور از ابتدای قرن نوزدهم شناخته شده بود اما تا اواخر سال ۱۸۹۰ بطور اقتصادی مورد استفاده قرار نگرفت. طلا توسط سیانور حل شده و بصورت کمپلکس سیانور در می‌آید. مکانیزم‌ها و واکنش‌های متعددی برای انحلال طلا توسط سیانور ارائه شده است که در زیر به تعدادی از آنها اشاره می‌شود.

آقای ال. السنر در سال ۱۸۴۶ [واکنش \(۱-۱\)](#) را ارائه کرد:



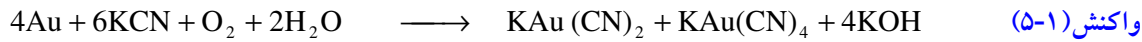
آقای جی - بودلندر (۱۸۹۳-۱۸۹۶) [واکنش \(۲-۱\)](#) و [واکنش \(۳-۱\)](#) برای انحلال طلا در سیانور پیشنهاد کرده است.





واکنش‌های بودلندر را ام. کامدا (۱۹۴۹) جی. آ. گیتز و ج. هالپرن (۱۹۵۳) تائید کرده‌اند. ولی وی. کودریک و اچ. کلوی (۱۹۵۴) رابطه ال. السنر (۱۸۴۶) را پذیرفته‌اند.

آقای بتل نیز واکنش زیر را ارائه داده است :



عوامل مؤثر بر سیانوراسیون غلظت سیانور، pH، درصد جامد، دانه‌بندی و سایر عوامل می‌باشد که در مطالعات آزمایشگاهی باید در نظر گرفته شده و بهینه سازی شوند.

# فصل ۲

# کانسار بزمان

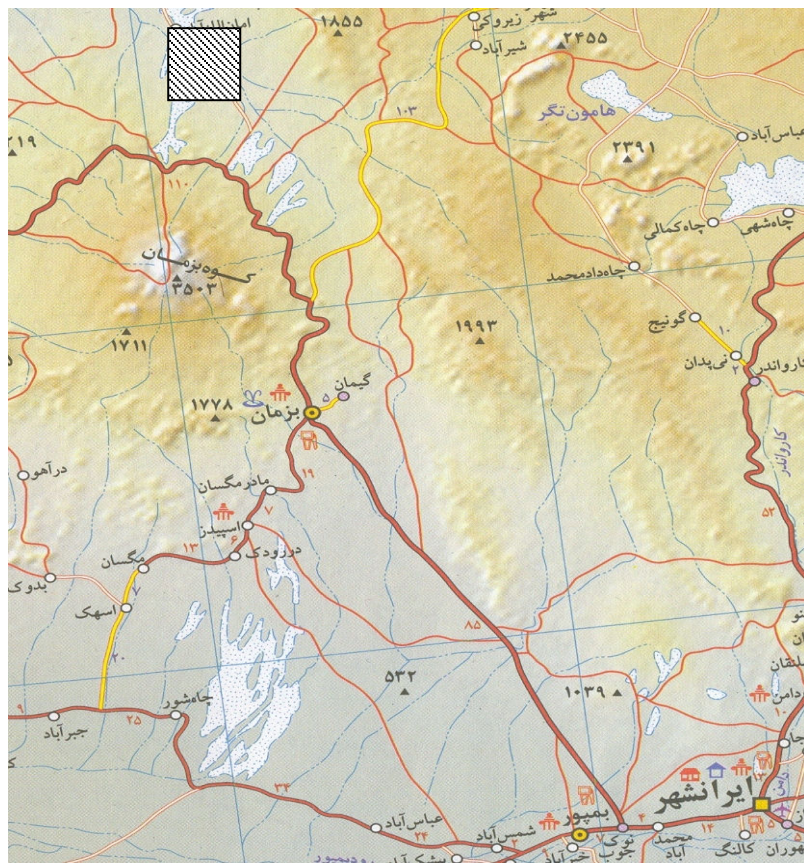
## ۱- موقعیت جغرافیایی و آب و هوایی منطقه

محدوده اکتشافی طلای چاه نعلی در استان سیستان و بلوچستان و در مرز استان کرمان ، در مختصات جغرافیایی  $56^{\circ}$  تا  $59^{\circ}$  و  $21^{\circ}$  تا  $28^{\circ}$  طول شرقی و  $17^{\circ}$  و  $20^{\circ}$  عرض شمالی در محدوده‌ای به وسعت ۴۰ کیلومترمربع واقع شده است. بخش اعظم آنومالی های طلای بزمان دربرگه زمین شناسی یکصد هزارم چاه سنگی و قسمت اندکی از آنها در برگه زیروکی و در بخش جنوبی کویر لوت جای گرفته است. از نظر اقلیمی این نواحی جزو مناطق صحرایی و خشک است.

دسترسی به محدوده مورد نظر از طریق جاده اصلی ایرانشهر به بم ، مقدور است. جاده مورد نظر از سمت ایرانشهر به طرف بم، در فاصله ۹۰ کیلومتری به شهرستان بزمان رسیده و در ادامه پس از طی ۸۵ کیلومتر؛ در مجاورت جاده و در سمت شمال ، تپه ماهورهای سبز رنگی مشاهده میشود که با امتداد شمال-جنوب به ارتفاعات کرمی روشن تا قرمز روشن تبدیل میشود که درواقع شروع محدوده مورد بررسی میباشد ([شکل\(۱-۲\)](#) تا [شکل\(۳-۲\)](#)) . در حاشیه شمالی محدوده ، دشت سمسور و در شمال غرب محدوده و در فاصله تقریبی ۸۰ کیلومتر ، روستای مسجد ابوالفضل قرار دارد. از نظر تقسیمات کشوری این محدوده از توابع بخش بزمان شهرستان ایرانشهر از استان سیستان و بلوچستان میباشد.



شکل (۱-۲): نمایی از محدوده اکتشافی چاه نعلی بزمان در فصل زمستان



شکل (۲-۲): موقعیت جغرافیایی و راههای دسترسی به محدوده چاه نعلی در نقشه ایران



شکل (۳-۲): عکس-نقشه ماهواره‌ای موقعیت جغرافیایی و راههای دسترسی به محدوده چاه نعلی

## ۲- وضعیت اجتماعی ، اقلیمی و فرهنگی منطقه

### ۲-۱- وضعیت اجتماعی

شهرستان ایرانشهر در ناحیه مرکزی بلوچستان با مساحت ۳۰۲۰۰ کیلومترمربع در فاصله ۳۳۰ کیلومتری زاهدان واقع شده و ۱۵ درصد وسعت استان را به خود اختصاص داده است که جمعیت این شهرستان بالغ بر ۱۹۴۵۹۶ نفر می‌باشد . این شهرستان دارای ۴ نقطه شهری، ۴ بخش ، ۱۰ دهستان و ۴۱ آبادی است.

در ایرانشهر حدود ۶۰ کارخانه کوچک و بزرگ از جمله کارخانجات بافت بلوچ و کارخانجات تولید نوشابه و نیروگاه عظیم برق ایرانشهر فعال می‌باشند. غرب ایرانشهر دارای یک سوم معادن استان از جمله سنگ مرمر ، گرانیت، منیزیم ، صالح ساختمانی، سنگهای تزئینی و ... می‌باشد. این شهرستان همچنین ۶ مرکز آموزش عالی دارد و با داشتن ۲ هتل و ۶ مهمانپذیر به لحاظ اقامت مسافران مناسب می‌باشد.

## ۲-۲- بارندگی

منطقه سیستان و بلوچستان با توجه به موقعیت جغرافیایی، از یک طرف تحت تأثیر جریان‌های جوی متعدد مانند: جریان بادی شبه قاره هند و به تبع آن باران‌های موسمی اقیانوس هند است و از طرف دیگر تحت تأثیر فشار زیاد عرض‌های متوسط قرار دارد که گرمای شدید مهم‌ترین پدیده مشهود اقلیمی آن است. در وضعیت هواشناسی این منطقه بادهای شدید موسمی، طوفان شن، رگبارهای سیل‌آسا، رطوبت زیاد و مه صبحگاهی پدیده‌ای قابل توجه است. این استان تابستانهای گرم و طولانی و زمستان‌های کوتاه دارد. شهرستان ایرانشهر در ناحیه گرم و خشک قرار دارد. متوسط سالیانه دمای هوا  $27/8$  درجه سانتیگراد متوسط سالیانه رطوبت نسبی  $29/3$  درصد می‌باشد. میزان بارندگی در ۷ ماهه اول سال  $1382$  در این شهرستان  $53/1$  میلی متر می‌باشد.

با توجه به بررسی های انجام شده در مورد پارامترهای آب و هوایی  $5$  ساله‌ی شهرستان ایرانشهر جمع بارش در این پنج سال حدود  $300$  میلی متر بوده است که میانگین آن  $60$  میلیمتر است، یعنی با توجه به میانگین بارش جهانی در حد پایین قرار دارد.

وسعت استان و تنوع آب و هوایی، موجب بروز تنوع در پوشش گیاهی و غنای منابع طبیعی تجدید شونده گردیده است. حدود  $55$  درصد از کل مساحت استان معادل  $10/250/000$  هکتار را مراعع در برگرفته است که  $300$  هزار هکتار مراعع خوب،  $750$  هزار مراعع متوسط و  $9/2$  میلیون هکتار مراعع فقیر و خیلی فقیر می‌باشند. وجود تالاب هامون و امکان تولید علوفه نی و بونی در سطح  $150/000$  هکتار با تولید متوسط حداقل  $6$  تن در هکتار علوفه خشک (در موقع غیر خشکسالی) از سرمایه‌های مهم منطقه به شمار می‌رود. در استان بیش از  $1200$  گونه گیاهی که حدود  $70$  گونه آن دارای ارزش دارویی و صنعتی می‌باشد شناخته شده است. از جمله می‌توان گونه‌های کهور، کنار، بنه، بادام، جشن، گز روغن را نام برد. مساحت جنگلهای استان که عمدتاً کم مترارم هستند قریب به یک میلیون هکتار می‌باشد.

## ۲-۳- عوارض طبیعی استان

ارتفاعات: تفتان (با ارتفاع حدود  $4050$  متر) - بزمان(با ارتفاع حدود  $3500$  متر) - بیرک - ملک سیاه کوه - بم پشت - پیر سوران - کوه خواجه

دریاچه‌ها: هامون - تالاب جازموریان - تالاب گواتر

رودخانه‌ها: هیرمند - بمپور - کاجو - سرباز - باهو کلات - کهیر - ماشکیت

## ۴- دما

میانگین دمای  $5$  سال حدود  $27,5$  درجه سانتیگراد می‌باشد. میانگین دمای حداکثر  $5$  سال  $34,7$

درجه و میانگین دمای حداقل ۲۰،۳۵ درجه است. همچنین حداکثر دمای ثبت شده در شهرستان ایرانشهر بین سالهای ۲۰۰۰ تا ۲۰۰۵ میلادی ۴۹،۳ درجه سانتیگراد و حداقل دما -۲،۲ بوده است. آمار ارائه شده بیانگر این مطلب است که آب و هوای این شهر اقلیمی گرم و خشک است.

### ۳- زمین شناسی عمومی منطقه (بر مبنای نقشه ۱:۱۰۰۰۰ چاه سنگی)

#### ۱-۳- زمین ریخت شناسی

وجود سنگ‌های مختلف با خاستگاه و سن‌های متفاوت موجب شده است تا چهره زمین ریخت شناسی منطقه بررسی شده در بخش‌های گوناگون آن متفاوت باشد. افرون بر نوع سنگ‌ها، در شکل‌گیری ریخت این نواحی، زمین ساخت ناحیه‌ای، تکاپوهای آتشفسانی نقش تعیین کننده داشته‌اند. در جنوب باخته منطقه بررسی شده، پهنه‌ای از سنگ‌های آتشفسانی باروند شمال باخته - جنوب خاور بروزند دارد که بلندترین ارتفاعات این بخش از منطقه را تشکیل می‌دهند. این ارتفاعات، بیشتر از سنگ‌های نئوژن بوده و از نوع آندزیت - بازالت و داسیت با میانلایه‌های از سنگ‌های رسوبی از نوع ماسه سنگ، کنگلومرا و لایه‌های نازکی از توپ می‌باشد. سنگ‌های آتشفسانی به سبب سرد شدن سریع دارای درزهای فراوانی بوده و در اثر فرسایش شدید خرد شده و ریخت پسته‌های فرسوده پیدا کرده‌اند. محل خروج ماقما با انباشته‌های از سنگ‌های آذرین بیرونی و سرد شدن ناگهانی مواد بصورت مخروط‌های بلند در آمده‌اند که قطر دهانه آن نزدیک به چند کیلو متر می‌رسد. بخش دهانه مخروط به دلیل خروج گدازه، گاز، بخار و فرسایش‌های بعدی خرد شده و دارای ریخت فرو ریخته است. این مخروط در شمال آبادی پاک واقع است و فعالیت دو مرحله از فعالیت آتشفسانی در آن کاملا مشهود است.

در بخش جنوب خاور منطقه بررسی شده، سنگ‌های آتشفسانی و گدازه‌های جوان کوه بزمان قرار دارد. کهن‌ترین سنگ‌های تکاپوی آتشفسان بزمان، گدازه‌های آندزیتی هستند که بیشتر ساخت اتفجاری داشته و خرد شده‌اند و فرسایش بیشتری از خود نشان می‌دهند و بصورت تبه ماهورهای منفرد باقی مانده‌اند. بخشی از سنگ‌های آتشفسانی که در مراحل بعدی پدیدار گشته‌اند از نوع بازالت تا بازالت‌های اولیوین دارمی باشند. بیشتر نهشته‌های آتشفسان بزمان در محدوده بررسی شده، از نوع کنگلومرا - آگلومرا با سیمان شدگی نسبتاً ضعیف تشکیل شده است.

در شمال باخته منطقه بررسی شده، گدازه‌های جوان کواترنر وجود دارد. این گدازه‌ها بیشتر از نوع اولیوین بازالت - بازالت - آندزیت است. محل خروج ماقما در اثر فرونشینی مواد گود مانده است و در اثر جمع شدن مواد رسی، روی عکس‌های هوائی و روی زمین سفید می‌نمایند. قطر این دهانه‌ها تا چند صد متر می‌رسد.

بخش مرکزی و شمال منطقه بررسی شده، از رسوب‌های کنگلومرائی و مارنی تشکیل شده است که دارای روند شمالی - جنوبی هستند. نهشته‌های مارنی نژوژن به سبب همراهی بارسوبات تبخیری فرسایش پذیر بوده و زیر تاثیر فرسایش شدید کویری ناحیه قرار گرفته اند به همین دلیل بصورت تپه ماهورهای فرسوده در آمده و شیب آنها ملایم است. بخش‌های دشت گونه منطقه بررسی شده، دارای نهشته‌های کنگلومرائی پلیوسن پایانی و آبرفت‌های کواترنری است و چهره برجسته موفولوزی دیده نمی‌شود. رسوب‌های کنگلومرائی دارای شیب ملایم بوده و نزدیک به ۲۰ - ۱۵ درجه است. این رسوب‌ها سست بوده و در سطح زمین بصورت قله‌های پراکنده که بیشتر اجزاء آنها آتشفسانی است دیده می‌شوند. رسوبات آبرفتی کواترنر دانه درشت بوده و بصورت پادگانه‌های دانه سر تخت آنها افقی است مشاهده می‌شوند. در بخش‌هایی از ناحیه بررسی شده پادگانه‌های دانه ریزتری نیز وجود دارد. در نواحی نزدیک به ارتفاعات، شبکه آبراهه نزدیک بهم و فشرده است و با کاهش شیب و دور شدن از ارتفاعات، شبکه آبراهه بازتر می‌شوند و رسوبات دانه ریزتر گشته و به کفه‌های رسی ختم می‌شوند.

### ۳-۲- زمین‌شناسی و چینه‌شناسی

ورقه یک صد هزارم چاه سنگی در جنوب خاور چهار گوش جهان آباد و در جنوب پنهان ساختاری بلوك لوت قرار دارد. بخش مرکزی منطقه بررسی شده، از نهشته‌های نژوژن و کواترنر پوشیده شده است در حالیکه در بخش‌های دیگر سنگ‌های چهره ساز آتشفسانی بروند دارند. مقدار قابل توجهی از سنگ‌های آتشفسانی جوان نیز در ناحیه مشاهده می‌شود. از نگاه سنگ‌شناسی، واحدهای چینه‌شناسی منطقه بررسی شده از نوع سنگ‌های آتشفسانی، آذرآواری و نهشته‌های آواری است. واحدهای سنگ چینه‌ای ناحیه بررسی شده با توجه به سن نسبی آنها از قدیم به جدید، به شرح زیر معرفی می‌شود

#### میوسن

در گستره منطقه بررسی شده، کهن‌ترین سنگ‌های بروند یافته، سنگ‌های میوسن است که از نوع سنگ‌های آتشفسانی و آذر - آواری است که در شمال خاور ناحیه بروند دارد ( $M^V$ ). سنگ‌های میوسن شامل گدازه‌های آندزیتی تا داسیتی است که بین آنها ماسه سنگ‌های دانه درشت، نازک تا متوسط لایه با خاستگاه آواری - آتشفسانی، فورش سنگ و توف دیده می‌شود. نتایج پرتونسنجی از دو نمونه از سنگ‌های ولکانیکی در باخته منطقه بررسی شده (برگه یک صدهزارم گیران ریگ) با روش پتابسیم - آرگون سن ۱۶/۶ و ۱۸/۶ میلیون سال سن معین شده است که بیانگر سن میوسن پیشین است (آقانباتی، ع. ۱۳۷۳). بخش‌هایی از این سنگ‌ها، توسط سنگ‌های آتشفسانی جوانتر و نهشته‌های رسوبی نژوژن پوشیده شده است. در حوالی چاه نعلی بخش‌هایی از آنها سیلیسی شده

است و بخش هائی نیز بصورت سیلیس های دایک گونه می باشند. بخش های سیلیسی کانی سازی شده و نیاز به بررسی های تفضیلی و دقیق تر دارد. دگرسانی در سنگ های آندزیتی بیشتر آرژیلی است بدین سبب رنگ این نهشته سفید تا زرد است که برروی عکس های هوائی و روی زمین کاملاً متمایز می باشند.

در بخش هائی از واحد آتشفسانی ( $M^v$ ), یک سری توف و ایگنیمبریت های خاکستری روشن بروند دارد که از نوع تراکی آندزیت و داسیت است (dt). در حوالی سه راهی سمسور، در خاور منطقه بررسی شده، ایگنیمبریت ها متوسط لایه بوده و ساخت ایگنیمبریتی از خود نشان می دهند. این سنگ ها در بخش هائی نیز توده ای گونه می باشند. این نهشته ها دارای بافت پورفیریتیک با زمینه کریپتو کریستالین بوده پلاژیوکلازها نیمه شکل دار تا شکل دار با ترکیب متوسط - بازیک و سالم بوده و دگرسانی نشان نمی دهند. آمفیبول های قهوه ای، غالباً بطور کامل اکسیده شده اند. در بخش هائی نیز حالت برشی دارند. در شمال چاه سنگی، در خاور منطقه بررسی شده، یک سری سنگ های ولکانیکی روشن تا خاکستری روشن بروند دارد که از لحاظ ترکیب سنگ شناسی نزدیک به واحد (dt) بوده ولی ریز تا متوسط دانه و ساخت برشی دارند (bt) با واحد (dt) متمایز می باشد. واحد های یاد شده (dt) بیشتر در مجاورت سنگ دگرسان شده (a) قرار دارند و تمایز آنها در بررسی های فتوژئولوژی مشکل است. فعالیت های آتشفسانی زمان میوسن متناوب بوده محصول فعالیت های پایانی از نوع اولیوین بازالت است ( $M^b$ ). این نهشته ها بر روی زمین از توپوگرافی بالائی برخوردار هستند. رنگ آنها تیره تا سیاه بوده در بعضی مناطق به سبب نازک بودن ضخامت گدازه، خرد شده اند و برروی سنگ های واحد (dt) واریزه گونه قرار گرفته اند. این سنگ ها دارای بافت پورفیریتیک با زمینه میکرولیتی - جریانی داشته اولیوین اکثر دانه های پورفیر را تشکیل می دهد و حواشی آنها اکسیده شده بخش هائی از آنها خرد شده اند. پلاژیوکلازها از نوع آندزین - لا برادریت بوده و بلورهای ریز پیروکسن در زمینه سنگ ها به فراوانی دیده می شود.

### نئوژن

بخش عمده سنگ های نئوژن منطقه بررسی شده، دارای خاستگاه مشترک آتشفسانی - رسوبی است. واحد های سنگ چینه ای قابل تفکیک عبارت است از:

$Ng^{a-d}$  در حوالی مسیر راه مسجد ابوالفضل<sup>(ع)</sup> به آبادی پاک، در جنوب باخته منطقه بررسی شده، یک سری سنگ های آتشفسانی از نوع تراکی آندزیت - داسیت - آندزیت پیروکسن دار و بطور محلی آندزیت اولیوین دار یا بازالت پیروکسن دار بروند دارد. مرز زیرین آنها پوشیده بوده دیده نمی شود و مرز زیرین آنها توسط نهشته های ( $Ng^a$ ) پوشیده می شود. بافت آنها ریز تا درشت دانه بوده و بادامک هائی از کلسیت نیز در آنها دیده می شود. فرسایش شدید، ساخت جریانی را از بین برده و در

شیب های تند توسط واریزه های نهشته های جوان تر پوشیده شده اند.

( $\text{Ng}^{\text{a}}$ ) در حوالی مسیر راه مسجد ابوالفضل ( $\text{ع}$ ) به آبادی پاک، در جنوب منطقه بررسی شده، یک سری سنگ های آتشفسانی توسط یک واحد اکسیدان و آهن دار به ضخامت نزدیک به ۲۰ متر در پایه آنها دیده می شود ( $\text{Ng}^{\text{a}}$ ). این واحد اکسیدان نشانگ آن است که بین جایگزینی نهشته های واحدهای ( $\text{Ng}^{\text{a-d}}$ ) و ( $\text{Ng}^{\text{a}}$ ) فاصله زمانی وجود داشته است. نهشته های واحد ( $\text{Ng}^{\text{a}}$ ) با دگر شکلی ملايم نواحی گسترهای از بخش جنوب باختری منطقه بررسی شده را می پوشانند. این نهشته ها از نوع اولیوین بازالت، آندزیت پیروکسن و اولیوین دار، پلاژیوکلازها کلسیتی و لابرادور است. در شمال آبادی پاک پائین یک مخروط آتشفسانی شناسائی و مشخص شده است که بریده شدن نهشته های واحد ( $\text{Ng}^{\text{a-d}}$ ) توسط سنگ های واحد ( $\text{Ng}^{\text{a}}$ ) نمایان است. پس از جایگزینی نهشته های واحد ( $\text{Ng}^{\text{a}}$ )، محلول های هیدروترمال در بخش هائی از منطقه بررسی شده نفوذ کرده و سبب دگرسانی آرژیلی و سیلیسی شدن سنگ های میزبان و کانی سازی در بعضی از قسمت ها شده است (a). این دگرسانی در جنوب باختر ناحیه بررسی شده، در حوالی آبادی پاک، مسیر آبادی پاک به مسجد ابوالفضل ( $\text{ع}$ ) و در خاور منطقه، در جنوب چاه نعلی مشاهده می شود. بررسی های دقیق و تفضیلی این دگرسانی ها در این مختصرا مقدور نیست ضروری است تحت پروژه های جداگانه بررسی گردد.

( $\text{tu.Ng}^{\text{vs}}$ ) در بخش های شمال باختر و مرکزی منطقه بررسی شده، مجموعه ای از گدازه های آندزیتی همراه با تناوبی از سنگ های رسوبی از نوع ماسه سنگ های گچ دار و فورش سنگ به رنگ خاکستری - قهوه ای بروند دارند که بصورت تپه های هنجار با بلندی متوسط می باشند. در باختر منطقه بررسی شده، این نهشته ها روی سنگ های واحد ( $\text{Ng}^{\text{a}}$ ) قرار گرفته است. در بخش مرکزی ناحیه، روی نهشته های واحد ( $\text{Ng}^{\text{vs}}$ ) یک سری توف های بلورین، تخریبی آتشفسانی (Volcanoclastic) از نوع داسیت - آندزیت به رنگ سفید تا خاکستری روشن دیده می شود (tu) که ضخامت آن در بعضی نقاط بالای ۱۰۰ متر نیز می رسد. نهشته های واحد ( $\text{Ng}^{\text{vs}}$ ) با واسطه توف های سفید رنگ (tu) یا بدون آن توسط واحد کنگلومرائی ( $\text{Ng}^{\text{c1}}$ ) پوشیده می شوند.

( $\text{Ng}^{\text{v}}$ ) در خاور و شمال باختر منطقه بررسی شده، مجموعه ای از گدازه از نوع بازالت های آندزیتی تا بازالت بروی نهشته های واحدهای (tu) و ( $\text{Ng}^{\text{vs}}$ ) به صورت دگر شیب بروند دارد. این گدازه ها که سر تخت آنها نامهوار است در ناحیه صخره ساز بوده و روی آنها پوشیده نشده است. دارای بافت پورفیریتیک با زمینه ایترسرال می باشند. پلاژیوکلازها شکل دار و ترکیبات آنها متوسط تا بازیک است و ساختمان منطقه ای (Zonation) در آنها مشاهده می شود. کلینوپیروکسن بندرت دیده می شود و زمینه سنگ از میکرولیت های فلدسپات همراه با کانی های کریپتوکریستالین و بلورهای ریز کلینوپیروکسن تشکیل شده است.

**(Ng<sup>s</sup>)** در جنوب خاور منطقه بررسی شده، یک سری نهشته های رسوبی - آتشفسانی از نوع کنگلومرا، ماسه سنگ، توف های سیلتی و کمی گدازه های آندزیتی زیر نهشته های آتشفسانی بزمان بروند دارد. این سنگ ها، در منطقه بررسی شده گسترش چندانی ندارند و به سوی خاور ناحیه در ورقه یک صدهزارم زیروکی گوهر کوه توسعه پیدا می کنند.

**(Ng<sup>c1</sup>)** در بخش مرکزی منطقه بررسی شده، یک واحد کنگلومرائی برنگ خاکستری تیره تا سیاه روی نهشته های واحد های (tu) و (Ng<sup>vs</sup>) رخنمون دارد. اندازه اجزاء تشکیل دهنده آن از ۲ میلی متر تا ۳۰ سانتی متر و گاهی بزرگتر از آن نیز می باشد. بیشتر دانه های آن ولکانیکی بوده، گردشگی خوب، تراکم ضعیف و آژند ولکانیکی است. با توجه به اینکه طبقه بندي خوبی در آنها دیده نمی شود لیکن، تعیین مقدار ضخامت آن مشکل است. به نظر می رسد ضخامت آنها نزدیک به ۱۵۰ متر باشد. نهشته های این واحد، افزون بر رسوب های کواترنری، در جنوب باخته منطقه توسط نهشته های کنگلومرائی واحد (Ng<sup>c2</sup>) پوشیده می شود.

**(Ng<sup>c2</sup>)** در بخش های شمال، باخته و مرکزی منطقه بررسی شده، یک واحد کنگلومرائی به رنگ خاکستری تیره بروند دارد. این کنگلومرا به صورت ناپیوسته روی نهشته های (Ng<sup>vs</sup>) و (Ng<sup>c1</sup>) واقع است. اندازه اجزاء تشکیل دهنده آن از ۲ میلیمتر تا ۲۵ سانتیمتر، بیشتر ولکانیکی، گردشگی خوب، تراکم ضعیف، آژند ولکانیکی-آهکی است. در بین نهشته های این واحد کنگلومرائی، میانلایه هایی از مارن های سفید تا زرد دیده می شود و بصورت تدریجی به نهشته های (Ng<sup>r</sup>) تبدیل می شوند.

**(Ng<sup>r</sup>)** در شمال منطقه بررسی شده، ردیفی از مارن های سست، ماسه سنگ های ولکانیکی، فورش سنگ های قهوه ای تا قرمز تا خاکستری روشن رخنمون دارد که دارای میانلایه هایی از کنگلومرا و توف می باشند. در این نهشته ها گچ بصورت لایه های نازک و رگچه دیده می شود. نهشته های این واحد بصورت تدریجی روی واحد کنگلومرائی (Ng<sup>c2</sup>) قرار دارند و بصورت ناپیوسته توسط رسوبات کواترنر پوشیده می شوند. لایه های نهشته های واحد (Ng<sup>r</sup>) دارای شیب ملایم ۳۰ - ۱۰ ° است که بصورت تاقدیس و ناویدیس های کوچک چین خورده اند و محور چین ها عمدتاً به سوی شمال شیب دارند.

### پلیو - پلئیستوسن

**(PIQ<sup>c</sup>)** در جنوب باخته منطقه بررسی شده، بطور پراکنده، یک سری کنگلومرای چند زادی (Polygenic) رخنمون دارند. اندازه دانه های آن از ۲ میلی متر تا ۴۰ سانتی متر و گاهی بزرگتر از آن بوده تراکم متوسط، گردشگی خوب، به رنگ خاکستری تیره که در اثر تحمل نیروهای تکتونیکی کج شده اند. این نهشته ها بصورت تپه هایی با گردشگی متوسط هستند که سطح روئی آنها از قلعه های گرد و نیمه زاویه دار پوشیده شده است. این نهشته ها، بصورت ناپیوسته زاویه دار روی سنگ های

نئوژن قرار گرفته و به رسوبات مخروط افکنه های کنگلومرائی (فنگلومرا) کواترنر<sup>(1)</sup> تبدیل میشوند.

### کواترنر

در منطقه بررسی شده، سنگ های کواترنر سطح وسیعی را پوشانده نزدیک به ۵۰ درصد رویه ناحیه را تشکیل می دهند. موقعیت زمین شناسی این ناحیه سبب شده است سنگ های آتشفسانی زیادی در زمان کواترنر بوجود آید. این سنگ های آتشفسانی و قلوه های حاصل از فرسایش آنها بخش گسترده ای از ناحیه بررسی شده را زیر سیطره خود دارد. گستره پهناوری از ناحیه بررسی شده از رسوب های سنت تشکیل شده است که در اثر عملکرد عوامل و چرخه های فرسایش بوجود آمده اند. در ذیل هر یک از واحد های ذکر شده توضیح داده می شود:

#### واحدهای آتشفسانی

مجموعه سنگ های آتشفسانی بزمان بخشی از سنگ های آتشفسانی کواترنر ناحیه است که قسمتی از آنها گوشه جنوب خاور منطقه بررسی شده را تشکیل داده اند. تعدادی دهانه آتشفسانی دیگر در منطقه وجود دارد و جدا از آتشفسان بزمان بروند دارند. دهانه آتشفسان بزمان و دهانه های دیگر موجود خاموش بوده هیچگونه فعالیتی ندارند. فعالیت های آتشفسانی منطقه در مراحل مختلف انجام گرفته و نوع سنگ های بوجود آمده از آندزیت تا بازالت است. واحدهای قابل تفکیک به شرح زیر معرفی می شود:

#### الف) فاز آندزیتی کواترنر

فاز آندزیتی کواترنر، شامل چهار واحد سنگ چینه ای زیر است:

**(Q<sup>an1</sup>)** این آندزیت ها کهن ترین نهشته های آتشفسان بزمان است گسترش چندانی در باخته و جنوب باخته آتشفسان بزمان ندارد و به سوی خاور آن توسعه پیدا می کند. در ناحیه بررسی شده فقط چند بروند کوچک دیده می شود. سنگ های آن بیشتر از نوع آندزیت های هیپرستن و هورنبلن دار بوده و دارای بافت پورفیری می باشند.

**(Q<sup>p</sup>)** در شمال باخته آتشفسان بزمان، پس از فاز آندزیتی (Q<sup>an1</sup>)، یک سری سنگ های آتشفسانی از نوع تراکی آندزیت، هیالو داسیت همراه با برش و لاهار و پیرو کلاستیک به رنگ خاکستری روشن فراهم آمده است که روی عکس های هوایی و روی زمین از نهشته های واحد (Q<sup>c</sup>) کاملاً متمایز میباشند و توسط نهشته های واحد (Q<sup>c</sup>) پوشیده شده است. تراکم و سفت شدگی سنگ های واحد (Q<sup>p</sup>) بیشتر از نهشته های واحد (Q<sup>c</sup>) است.

**(Q<sup>c</sup>)** نهشته های این واحد بصورت مخروط افکنه های کنگلومرائی تخته سنگی همراه با برش و لاهار بوده که گسترش آنها بیشتر از سایر نهشته های آتشفسان بزمان در منطقه بررسی شده می باشد. این سنگ ها بصورت حلقه اطراف آتشفسان بزمان جای گرفته تراکم و سفت شدگی ضعیفی دارند و

در مقابل فرسایش مقاومت چندانی نشان نمی دهد لیکن، بریدگی های عمیقی در آنها ایجاد شده است. نتایج رادیومتری بروی قلوه های آندزیتی، سن آنها را یک میلیون سال معین نموده است (آقاباتی، ع. ۱۳۷۳). نهشته های این واحد توسط رسوبات واحد ( $Q^1$ ) پوشیده می شود.

$Q^{an2}$  دومین فاز آندزیتی آتشفشن بزمان، شامل سنگ های ولکانیکی از نوع آندزیت پورفیری هائی است که دارای هیپرستن و هورنبلند فراوان می باشند. سنگ های کنونی دهانه آتشفشن بزمان از این سنگ ها تشکیل شده است. این سنگ ها دارای برش های تخته سنگی بوده که بخشی از دامنه های کوه خضر از این آندزیت ها تشکیل شده است. درشت بلورهای این سنگ ها، از هورنبلند، پلاژیوکلاز و کلینوپیروکسن است و زمینه سنگ ها شیشه تا ریز بلور همراه با میکرولیت های پلاژیوکلازها میباشد.

### ب) فاز بازالتی

در شمال باخته و باخته منطقه بررسی شده، گدازه های بازالتی با گستره قابل توجهی بروزد دارند. نهشته های بازالتی کواترنر، شامل سه واحد سنگ چینه ای است که روی سنگ های آتشفشنی کهن تراز جمله ( $Ng^a$ ) و ( $Ng^{vs}$ ) به صورت دگرشیب جای گرفته اند. در این گدازه ها، دهانه و مخروط های آتشفشنی حفظ شده و اندازه آنها نزدیک به ۵۰۰ متر می رسد. این گدازه ها از نوع بازالت های اولیوین دار بوده و دارای بافت پورفیریتیک تا آفانیتیک و شیشه ای است. درشت بلورهای آنها اولیوین می باشد ( $Q^{b1}$ ). این نهشته ها بیشتر در کوه های زا بزرگ و زا کوچک مشاهده می شود. پس از یک فاصله زمانی، نهشته های بازالت های اولیوین دار تکرار شده و روی سنگ های واحد ( $Q^{b1}$ ) را پوشانده اند. نهشته های واحد ( $Q^{b2}$ ) از لحاظ ترکیب سنگ شناسی شبیه نهشته های واحد ( $Q^{b1}$ ) است فقط از نگاه سنگ چینه ای روی سنگ های واحد ( $Q^{b1}$ ) واقع شده اند و در یک فاز دیگر بوجود آمده اند. پس از جایگیری سنگ های واحد ( $Q^{b2}$ )، فعالیت آتشفشن بزمان بصورت تناوبی از گدازه های بازالتی، آذرآواری و برکشیائی ادامه پیدا کرده و به رنگ های قرمز و سیاه می باشند. از نگاه ترکیب شیمیائی از نوع بازالت های اولیوین دارهستند و بصورت آذرآواری می باشند. سطح فرسایش آنها با نهشته های واحدهای ( $Q^{b1}$ ) و ( $Q^{b2}$ ) متفاوت بوده و نرم میباشد روی عکس های هوائی و روی زمین کاملاً متمایزند.

### نهشته های رسوبی کواترنر

رسوبات کواترنری در منطقه بررسی شده، بیشتر آبرفت و مخروط افکنه های کنگلومرائی (فنگلومرا) هستند که نواحی پست و کم ارتفاع را پوشانده اند. منشاء و خاستگاه این رسوبات ارتفاعات ناحیه مورد بررسی شده و اطراف آن است که بیشتر آنها آتشفشنی می باشد. بر حسب نوع و اندازه آنها در ارتفاعات گوناگون جای گرفته اند. و واحدهای سنگ چینه ای مختلفی را تشکیل داده

اند. واحدهای قابل تفکیک به شرح زیر معرفی می شود:

**(Q<sup>1</sup>)** نهشته های این واحد از پادگانه های آبرفتی و مخروط افکنه های کهن تشکیل شده است. کنگلومرای چند زادی (Polygenic) نهشته های این واحد را تشکیل داده که سخت شدگی آنها متوسط و اندازه دانه های آن از ۲ میلی متر تا ۳۰ سانتی متر می رسد. در بین آنها لایه های ماسه سنگی نیز دیده می شود. رنگ رویه آنها تیره تا سیاه بوده و بیشتر از سنگ های آتشفسانی تشکیل شده است. ضخامت نهشته های واحد (Q<sup>1</sup>) تا ۳۰ متر می رسد. واحد (Q<sup>1</sup>) در اثر عوامل تکتونیکی کج شده اند و شب آنها ۵-۱۰ درجه است که در جنوب خاور منطقه بررسی شده، در پایه آتشفسان بزمان به حداقل می رسد.

**(Q<sup>2</sup>)** این واحدر ا پادگانه های آبرفتی کوتاه و مخروط افکنه های جوان تشکیل می دهند. اجزاء تشکیل دهنده این نهشته ها بیشتر ولکانیکی بوده ولی اندازه آنها از اجزاء واحد (Q<sup>1</sup>) کوچکتر است سخت شدگی ضعیف و نفوذپذیری آب در این واحد بیشتر است. عمدتاً درناوحی کم شیب و دشت ها تشکیل شده اند.

**(Q<sup>3</sup>)** مناطقی از ناحیه بررسی شده که توپوگرافی در آنها نزدیک به افق است رسوبات ماسه ای، رس و شنی در آنها تشکیل شده است. سخت شدگی در آنها خیلی ضعیف بوده بطوریکه بادهای محلی آنها را جابجا می نماید. گذر آنها با نهشته های واحد (Q<sup>2</sup>) تدریجی است.

**(Q<sup>4</sup>)** در کوه های مناطق بررسی شده که منتهای آبراهه ها می باشند پس از ته نشین شدن مواد دانه درشت در آبراهه ها، مواد ریز و رسی باقی مانده در این مناطق جای می گیرند این مواد عمدتاً سفید رنگ هستند و در روی عکس های هوایی و روی زمین کاملاً متمایز می باشند.

**(Q<sup>5</sup>)** در شمال منطقه بررسی شده، در منتهای آبراهه و رودخانه ها، ریزدانه ترین رسوب های آبرفتی تشکیل شده است که در حد گل، لای و فورش است. افزون بر رسوب های فوق، مقداری شن های بادی نیز مشاهده می شود که توسط باد و طوفان های محلی حمل و بر جای گذاشته شده است. در فصل و سال های بارانی بصورت دشت های سیلابی و در زمان های خشک بصورت کوه های رسی سفید رنگ هستند. آبراهه های بخش خاوری این واحد از مارن های نمک و گچ دار عبور می کنند و نمک دار می باشند.

**(Q<sup>6</sup>)** این نهشته ها در مسیر رودخانه ها تشکیل شده ویا در حال تشکیل است که در بارندگی های شدید و طغیان رودخانه ها تغییر فرم و شکل می دهند. اجزاء تشکیل دهنده از مواد درشت و ریز شامل قلوه سنگ، ریگ، شن و ماسه بدون سیمان می باشد ولی روند اندازه دانه ها از دامنه ارتفاعات به سوی دشت کاهش می یابد.

**(sc)** در شمال خاور منطقه بررسی شده، در پایه بعضی از ارتفاعات، نهشته های خرد شده

ابداشته گشته اند که به سبب قابل توجه بودن مقدار آنها تفکیک و نشان داده شده است.

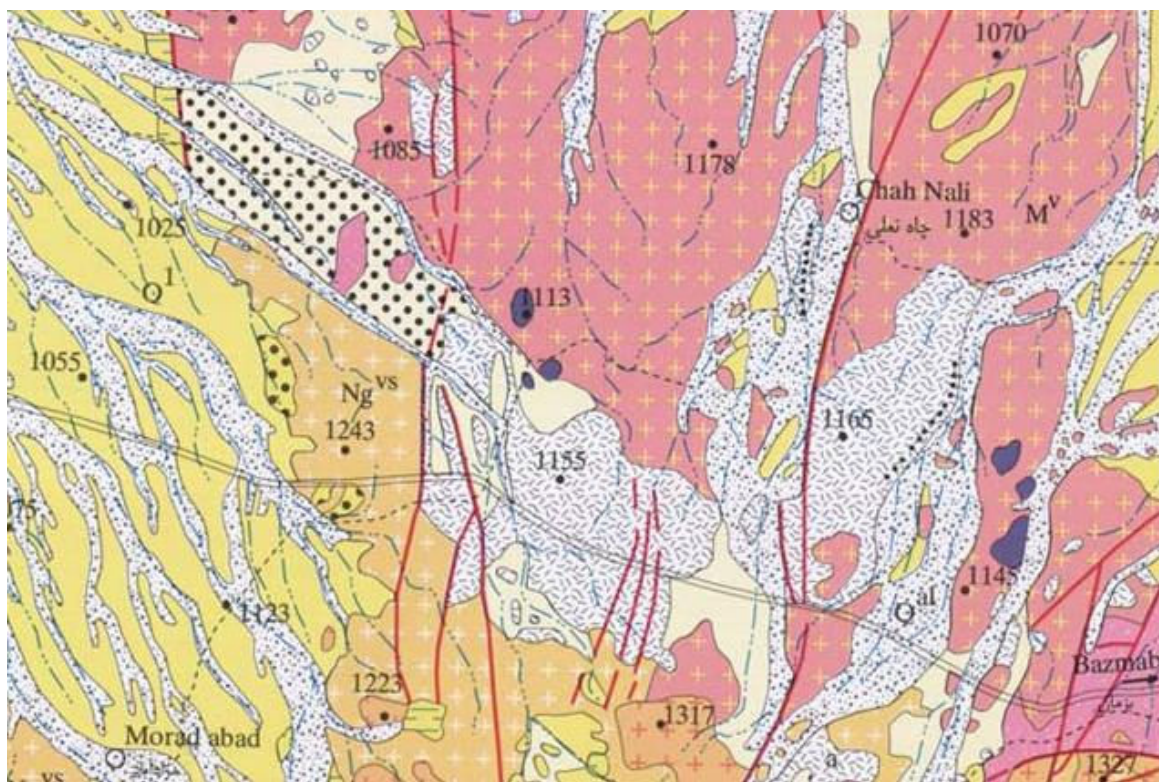
(Q<sup>cs</sup>) در گوشش شمال خاور منطقه بررسی شده، در حاشیه رودخانه سمسور، در مناطق نزدیک به افق، یک سری رس، ماسه و فورش بر جای مانده است که بخشی بصورت نیزار و بخشی بعنوان زمین کشاورزی، زراعت کاشته می شود. سخت شدگی نهشته های این واحد خیلی ضعیف، اندازه آنها در حد ماسه و رس است.

### ۳-۳- تکتونیک

ورقه یک صدهزارم چاه سنگی در بخش جنوب خاوری چهار گوش ۱: ۲۵۰/۰۰۰ جهان آباد واقع است. منطقه جهان آباد بین پهنه های لوت، حوضه فلیشی مکران و فرونژیت جازموریان قرار دارد. بیشتر نهشته های آن از سنگ های آتشفسانی - رسوبی نئوژن و کواترنر تشکیل شده است. بیشتر سنگ های رویه آنها از سنگ های آتشفسانی بزمان است. بخشی نیز توسط آبرفت های کواترنر پوشیده شده است. روند عمومی سنگ های آتشفسانی نئوژن ناحیه بررسی شده شمال باخته - جنوب خاور است که به نظر می رسد جزئی از نوار آتشفسانی ارومیه - بزمان باشند. سنگ های آتشفسانی میوسن و نهشته های کنگلومرائی نئوژن روند شمالی - جنوبی دارند. این روند، از دو روند اصلی نوار ارومیه - بزمان (شمال باخته - جنوب خاور) و شمال - جنوب (پهنه لوت) متاثر می باشد.

ارتفاعات جنوب باخته ناحیه بررسی شده، جزو نوار ارومیه - بزمان بوده که از مرز ترکیه و ایران شروع شده با روند شمال باخته - جنوب خاور ادامه دارد. کهن ترین برونزد های ناحیه بررسی شده، مربوط به سنگ های آتشفسانی - آذرآواری نئوژن است که نشانگر تکرار جنوب و جوش های آتشفسانی و زمان های آرامش بین آنها است که در زمان های مناسب با پیشرفت موقعت دریا و فرسایش شدید ارتفاعات باعث تشکیل نهشته های ضخیم آبرفت ها و مخروط افکنه های کنگلومرائی کواترنری گشته است. کج بودن این رسوب ها، نشانگر جنبش های تکتونیکی در ناحیه است. ویژگی های زمین شناسی ناحیه بررسی شده بیشتر با پهنه بلوك لوت هماهنگی دارد. روند کلی نهشته ها عمدتاً شمالی - جنوبی است. دگرشکلی و امتداد گسل ها نشان می دهد عوامل تکتونیکی موثر بیشتر زیر تاثیر پهنه لوت بوده است. نهشته های ولکانیکی میوسن در شمال خاور ناحیه بررسی شده، کهن ترین سنگ های ناحیه است روند آنها نزدیک به شمال - جنوب است. خاستگاه چندین واحد نهشته های ناحیه بررسی شده، آتشفسانی بزمان و سنگ های آتشفسانی - آذرآواری نئوژن بوده که نشانگر تکرار جنبش های حاکم در منطقه می باشد. این تنوع در حوالی آتشفسانی بزمان بیشتر است. نهشته های آتشفسانی با دور شدن از محل آتشفسان منشاء خود کمتر می شوند. قابل توجه است آبرفت های بر جای مانده دارای روند شمال - جنوب تا شمال باخته - جنوب خاور دارند. مارن های نئوژن، آبرفت ها و مخروط افکنه های کنگلومرائی (فنگلومرا) کج شده اند که معروف موثر بودن رخداد تکتونیکی

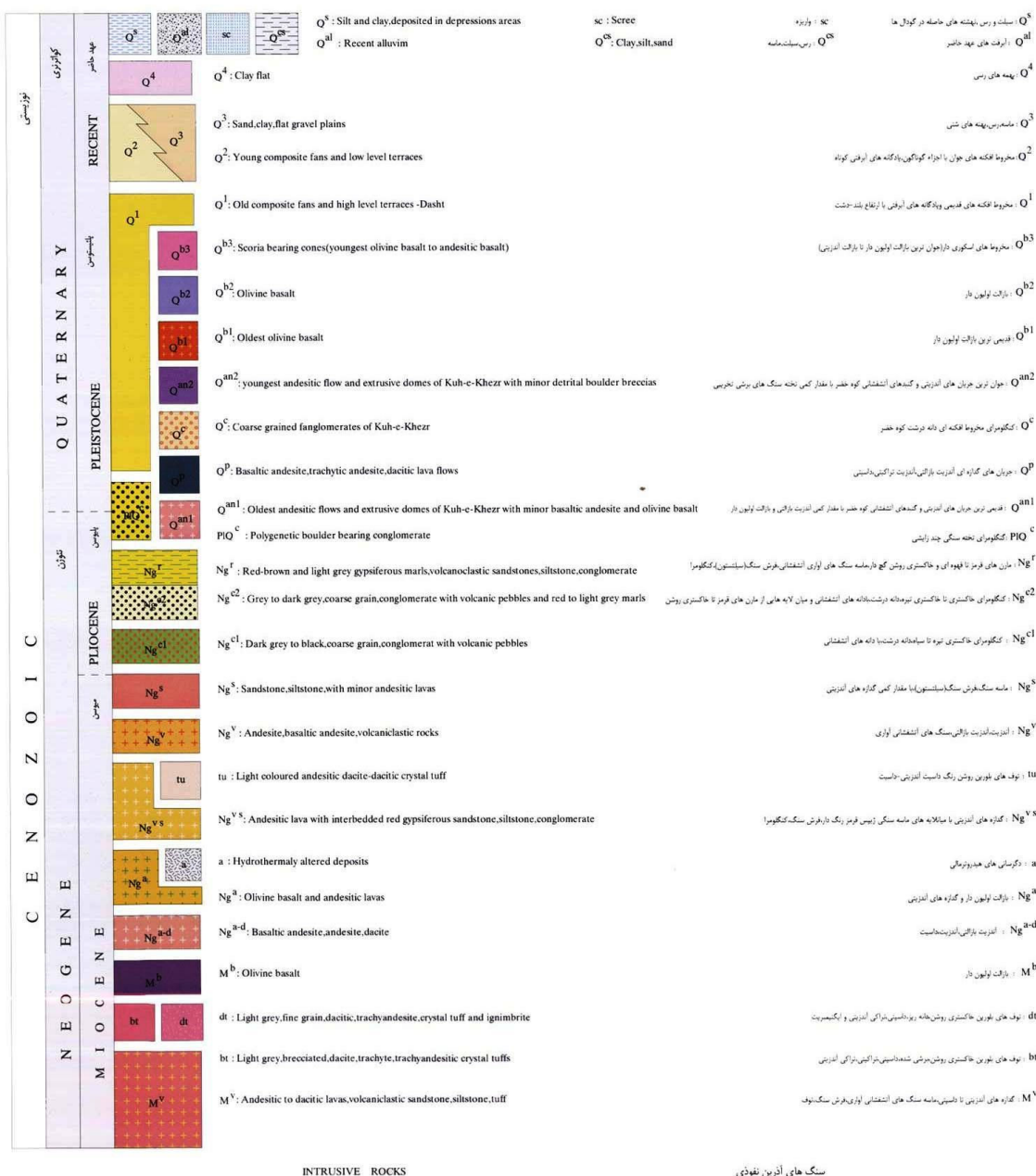
پاسادنین (Pasadenian) در ناحیه است. منطقه بررسی شده، در زمان کواترنر نیز تا حدودی نا آرام بوده و این نا آرامی با تجدید فعالیت های آتشفسان بزمان و سایر آتشفسان های بازالتی نمایان است. در ناحیه بررسی شده دو ساختار عمده نمایان است. یکی در گوشه جنوب خاور، که آتشفسان بزمان واقع است. دومی گسل های تقریباً شمالی - جنوبی که در بخش های مرکزی و باخترا ناحیه دیده می شوند. این گسل ها، بر روی عکس های هوایی کاملاً مشخص است ولی ردیابی آنها بر روی زمین، بدلیل پوشش نهشته های آواری مشکل می باشد ولی در لایه های متراکم تر و سخت تر، نشانه هایی از افتادگی و اختلاف ارتفاع ناگهانی می توان دید. تمرکز سیلیس در جنوب چاه نعلی واقع در خاور ناحیه بررسی شده نشانه ای از این گسل ها می توانند باشند.



شکل (۴-۲): نقشه زمین شناسی اطراف محدوده چاه نالی (اقتباس از برگه زمین شناسی ۱:۱۰۰۰۰ چاه سنگی)

LEGEND

راهنما



شکل (۵-۲): راهنمای نقشه زمین‌شناسی ۱:۱۰۰۰۰ چاه سنگی

#### ۴- پیشینه مطالعات و کارهای انجام شده قبلی در محدوده بزمان

در سالهای اخیر، استان سیستان و بلوچستان به دلیل داشتن پتانسیلهای متعدد کانی زایی، مورد توجه مراکز تحقیقاتی و به خصوص سازمان زمین شناسی و اکتشافاتمعدنی کشور قرار گرفته است اما متاسفانه به دلیل کمبود امکانات، نامساعد بودن شرایط اقلیمی و بعضًا امنیتی و وضعیت مرزی منطقه، مطالعات سیستماتیکی تا قبل از سال ۱۳۸۴ در منطقه انجام نگرفته است. از این‌رو این منطقه از لحاظ معدنی تقریباً بکر و دست نخورده باقی مانده است.

در چند سال گذشته مطالعاتی توسط طرح اکتشاف سیستماتیک مواد معدنی در استان سیستان و بلوچستان و چند شرکت خصوصی در منطقه صورت گرفته که برخی نیز منجر به اکتشافات تفصیلی و مطالعاتی تکمیلی شده است. در ذیل مختصرا به بررسی‌ها و مطالعات قبلی انجام شده در ناحیه مورد نظر می‌پردازیم:

ناحیه اکتشافی بزمان برای نخستین بار در گزارش بررسیهای متالوژنی استان سیستان و بلوچستان (موسسه تحقیقات علوم و فنون زمین، ۱۳۷۸) به عنوان یک اولویت اکتشافی مطرح شد. در سال ۱۳۸۲ و بنابر نظر سازمان زمین شناسی و اکتشافاتمعدنی کشور، در منطقه‌ای به مساحت ۱۱۵ کیلومترمربع مطالعات ژئوشیمی و کانی سنگین و همچنین تهیه نقشه زمین شناسی-معدنی منطقه با مساحتی حدود ۸۱ کیلومتر مربع در قالب طرح اکتشاف مواد فلزی در شمال بزمان توسط شرکت پارس کانی تهیه گردید.

در سال ۱۳۸۴ مطالعات ژئوشیمیایی ناحیه‌ای در مقیاس ۱:۱۰۰۰۰۰ براساس مطالعه نمونه‌های آبراهه‌ای و کانی سنگین در برگه چاه سنگی انجام شد.

در ادامه مطالعات و تا ابتدای سال ۱۳۸۶، در آنومالی شماره ۱ بزمان (آنومالی چاه نعلی) انجام عملیات اکتشافی در قالب حفر ترانشه‌های اکتشافی و تهیه نقشه زمین شناسی-معدنی ۱:۵۰۰۰ توسط کارشناسان سازمان زمین شناسی و اکتشافاتمعدنی (طرح اکتشاف مواد معدنی در سیستان و بلوچستان) صورت پذیرفت که در این مطالعات ضمن تعیین کمیت، کیفیت و جایگاه کانی سازی در سطح، کلیدوراهنمای مناسبی برای مطالعه سایر مناطق آنومال به دست آمد.

در زمستان سال ۱۳۸۶ انجام مطالعات اکتشافی در آنومالی شماره ۳ آغاز گردید. در این مرحله تعداد ۸ ترانشه اکتشافی به طول کلی ۲۲۶ متر حفر و ضمن برداشت مقاطع زمین شناسی و رسم رخنمون ترانشه‌ها، تعداد ۱۷۰ نمونه نیز برداشت شد. همچنین در آنومالی شماره ۲ انجام مطالعات اکتشافی با برداشت ۱۸ نمونه اکتشاف چکشی در اواخر سال ۱۳۸۶ آغاز گردید.

در ادامه عملیات اکتشافی انجام شده در آنومالی چاه نعلی، تا سال ۱۳۸۷ انجام بررسیهای اکتشاف سطحی شامل تهیه نقشه های توپوگرافی و زمین شناسی معدنی با مقیاس ۱:۵۰۰۰ و ۱:۱۰۰۰، برداشت نمونه های سنگی، حفر و برداشت ترانشه های اکتشافی، تهیه و مطالعه مقاطع نازک، صیقلی و غیره انجام و رگه های کانی سازی را مشخص و بر این اساس اقدام به حفر حدود ۱۵۰۰ متر گمانه اکتشافی در ۱ سطح (عمق حدود ۸۰ تا ۱۵۰ متر) بر روی نقاط دارای کانی سازی انجام پذیرفته است.

در سال ۱۳۸۸ لاغینگ مغزه ها و نمونه برداری و آنالیز نمونه ها انجام پذیرفته است.

## ۵- نمونه برداری تکنولوژیکی

جهت انجام مطالعات اولیه فرآوری نمونه از ترانشه هایی که قبلا برای مطالعات اکتشافی حفر شده بود با راهنمایی کارشناسان اکتشاف برداشته شد. جدول (۱-۲) ترانشه، موقعیت و میزان نمونه برداشت شده از هر ترانشه را نشان می دهد.

جدول(۱-۲): موقعیت و میزان نمونه‌های برداشت شده از کانسار بزمان

توضیحات	میزان تقریبی نمونه(کیلوگرم)	موقعیت جغرافیایی نمونه	ترانشه
	۲۵	N $28^{\circ}19'35/6''$ E $59^{\circ}59'20/8''$	ترانشه T1
	۲۵	N $28^{\circ}19'39/9''$ E $59^{\circ}59'24/5''$	ترانشه T2
حفر این ترانشه به پیشنهاد مهندس برنامه انجام گرفته است	۲۰	N $28^{\circ}19'48/6''$ E $59^{\circ}59'33/7''$	ترانشه
ژیپس-سیلیس-کائولن	۲۰	N $28^{\circ}19'55/9''$ E $59^{\circ}59'73/9''$	ترانشه T06
	۲۵	N $28^{\circ}19'57''$ E $60^{\circ}00'00''$	ترانشه
سیلیس های برشی دارای قطعات خرد شده	۲۰	N $28^{\circ}20'15/7''$ E $60^{\circ}00'15/1''$	ترانشه T09
حفر این ترانشه به پیشنهاد مهندسان برنامه انجام گرفته است	۲۰	N $28^{\circ}20'05/7''$ E $60^{\circ}00'07''$	ترانشه
سیلیس های سفید رنگ به همراه سیلیس های خاکستری دارای پیریت و ژئود	۲۵	N $28^{\circ}25'23/97''$ E $60^{\circ}00'19/5''$	ترانشه T10
	۲۵	N $28^{\circ}20'19/4''$ E $60^{\circ}00'17''$	ترانشه T10

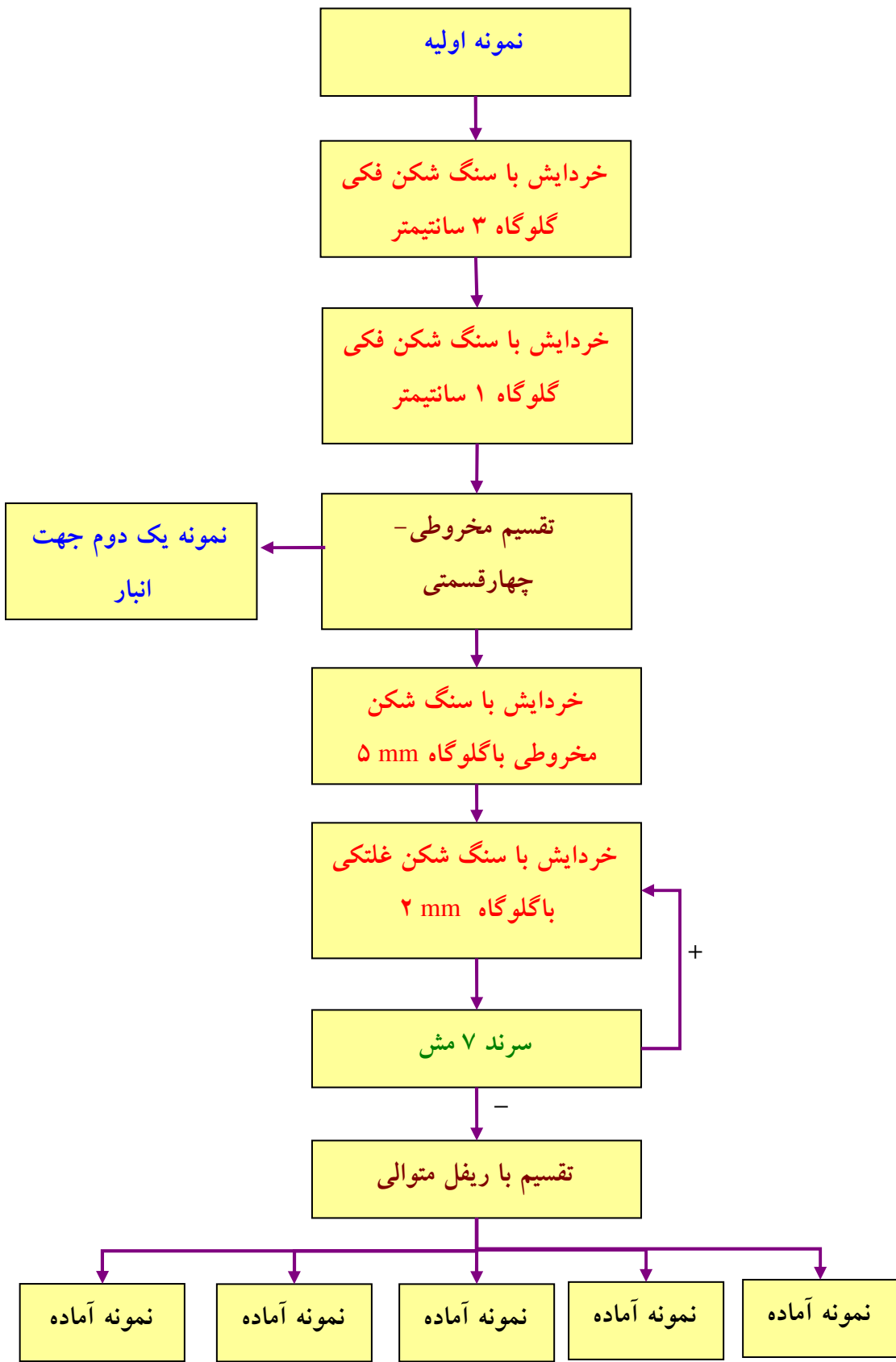
# فصل ۳

# دروش، مواد و تجهیزات

## ۱- آماده سازی نمونه

### ۱-۱- آماده سازی کلی نمونه

مراحل آماده سازی شامل مخلوط و همگن سازی، تقسیم، کاهش ابعاد (سنگ شکنی و آسیا) و طبقه بندی ابعادی می باشد. آماده سازی کلی نمونه طبق فلوشیت شکل (۱-۳) انجام شد. در این تحقیق جهت خردایش نمونه تا ابعاد زیر ۳۰ میلیمتر از سنگ شکن فکی بزرگ با گلوگاه ۲۰ میلیمتر، برای خردایش تا زیر ۱۰ میلیمتر از سنگ شکن فکی کوچک با گلوگاه ۷ میلیمتر و برای خردایش تا زیر ۷ میلیمتر از سنگ شکن مخروطی و غلطکی استفاده شده است. نمونه ها بعد از هر مرحله کاهش ابعاد به خوبی مخلوط شده و با توجه به ابعاد نمونه و مقدار آن به روش مخروطی و یا توسط ریفل تقسیم گردیده است. نمونه های آماده شده نهایی ۲ و ۴ کیلو گرمی بوده اند.



### شکل (۱-۳): فلوشیت آماده سازی نمونه

## ۱-۲- آماده سازی نمونه برای آنالیز کلی و طلا

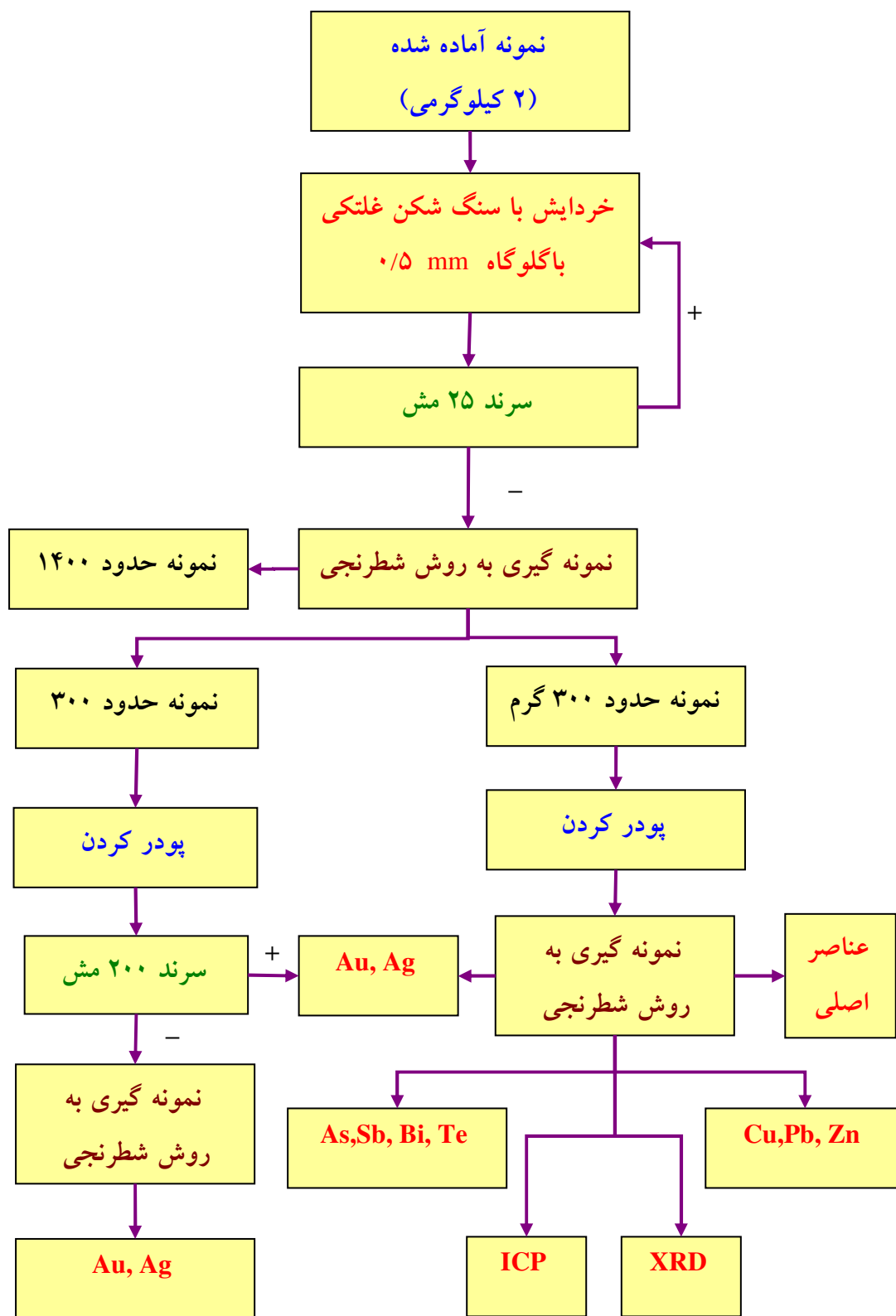
برای نمونه‌گیری جهت آنالیز و ارسال به آزمایشگاه از فلوشیت شکل (۲-۳) استفاده شده است که طبق آن دو روش برای آماده سازی نمونه‌ها گرفته شده است. در روش اول برای آنالیز عناصر اصلی، XRD، عناصر مضر در فرآیند (Cu,Pb,Zn,As,Sb,Bi,Te)، ICP، نقره و طلا نمونه به طور عادی آماده سازی شد. اما در روش دوم جهت حذف خطای ناشی از وجود طلای درشت دانه، نمونه پس از پودر شدن توسط الک ۲۰۰ مش سرند شده و بخش‌های +۲۰۰ و -۲۰۰ جداگانه به آنالیز فرستاده شد. عیار نهایی طلا از متوسط گیری وزنی این دو بخش بدست آمده است. لازم به ذکر است که تمام نمونه +۲۰۰ در مرحله ذوب استفاده می‌شود تا خطاگی بوجود نیاید. علاوه بر این وجود اختلاف فاحش در عیار این دو بخش نشان دهنده وجود طلای آزاد درشت دانه است. جهت پودر کردن نمونه‌ها برای آنالیز از پودرکن دیسکی و آسیای گلوله‌ای سیاره‌ای استفاده شد.

## ۱-۳- آماده سازی نمونه برای آزمایش‌های میز لرزان

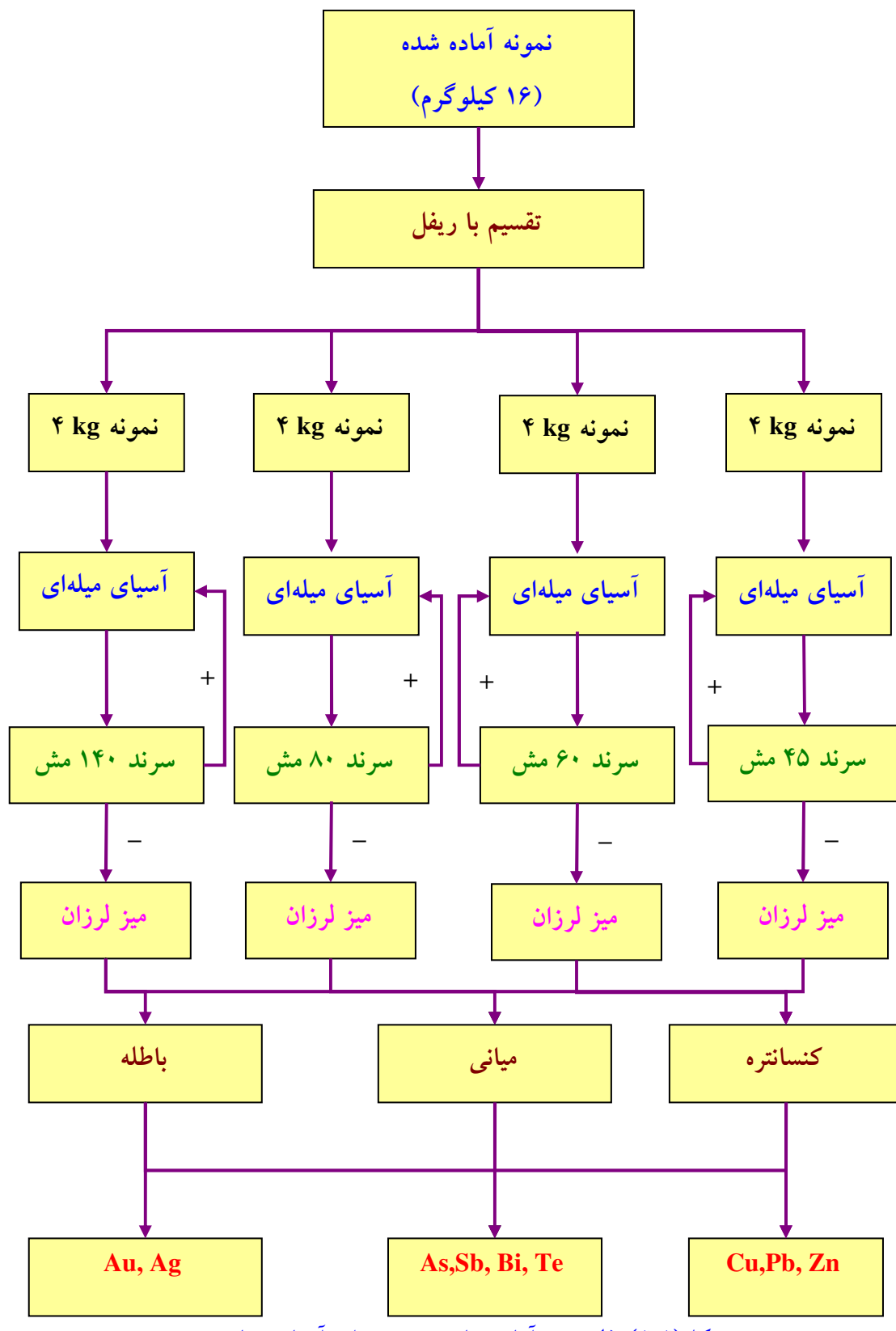
برای هر دانه‌بندی از آزمایش‌های میز لرزان ۲ نمونه به وزن ۲/۱ کیلوگرم طی خردایش مرحله‌ای با درصد جامد ۶۰ درصد به دانه‌بندی مورد نظر رسانده می‌شود. سپس این دو نمونه مخلوط شده به آزمایش میز ارسال می‌شود. شکل (۳-۳) فلوشیت آماده سازی نمونه برای آزمایش‌های میز را نشان می‌دهد.

## ۱-۴- آماده سازی نمونه برای آزمایش‌های سیانوراسیون

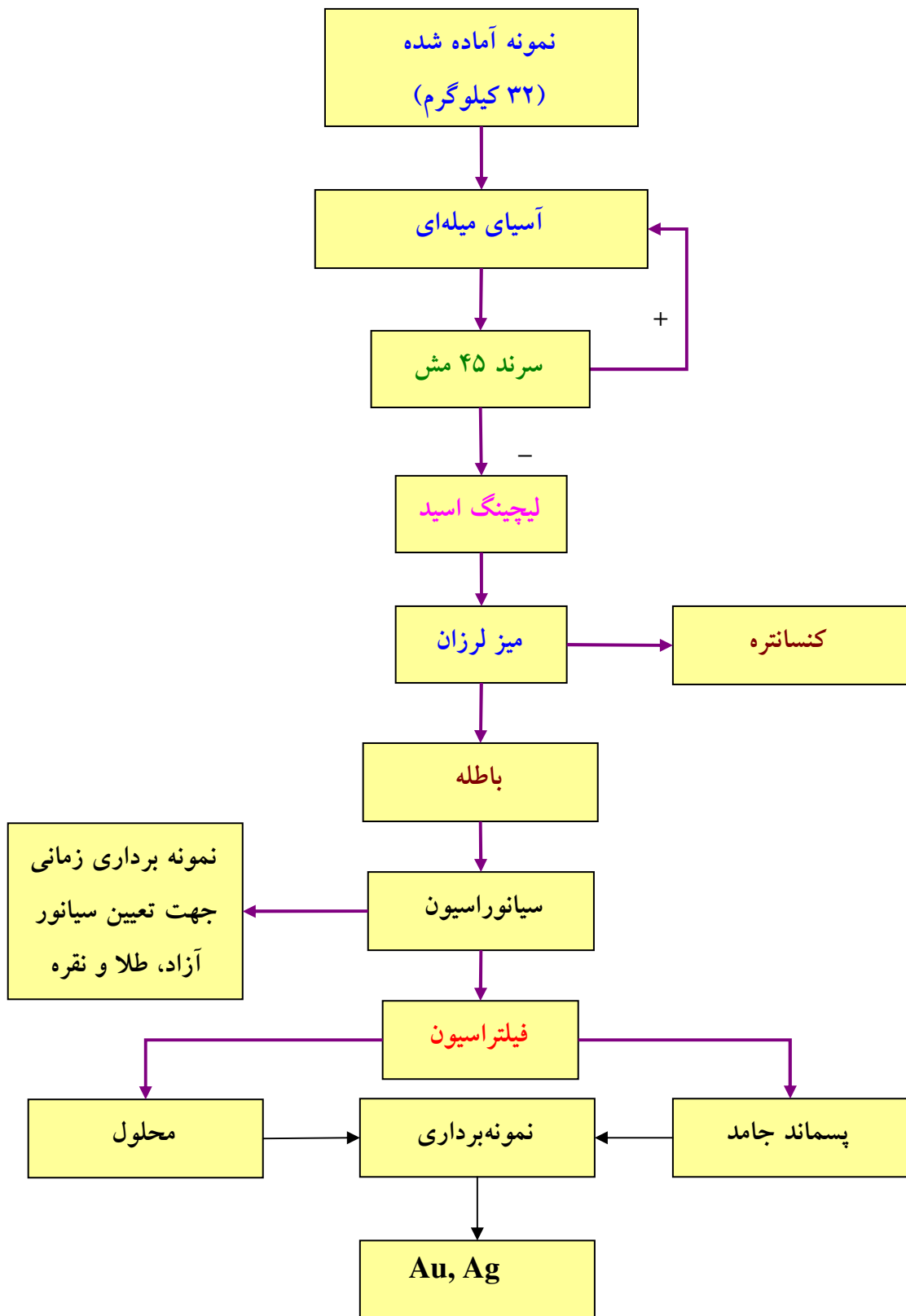
برای آزمایش‌های لیچینگ حدود ۳۲ کیلوگرم نمونه آماده سازی شده در بچ‌های ۲/۱ کیلوگرمی با خردایش مرحله‌ای به زیر ۶۰ مش رسانده می‌شود. این نمونه‌ها در شرایط ذکر شده با روش لیچینگ اسیدی لیچ می‌شود. پسمند جامد بچ‌ها باهم مخلوط شده و تحت آزمایش میز قرار می‌گیرد. باطله میز جمع‌آوری و خشک شده و سپس توسط ریفل به نمونه‌های ۲/۱ کیلوگرمی تقسیم می‌شود. هر چهار بچ از این نمونه‌های ۲/۱ کیلوگرمی طی زمانهای ۴۰، ۵۰، ۶۰ و ۷۰ دقیقه در آسیای میله‌ای در درصد جامد ۶۰ درصد خرد شده و پس از آبگیری خشک می‌شود. نمونه‌های خشک شده باهم مخلوط شده و مجدداً توسط ریفل به نمونه‌های به وزن ۱/۵ کیلوگرم تقسیم می‌شود. بدین ترتیب ۱۶ نمونه در دانه‌بندی‌های مختلف برای آزمایش‌های سیانوراسیون آماده می‌شود. فلوشیت شکل (۴-۳) مراحل آماده سازی نمونه را برای آزمایش‌های سیانوراسیون نشان می‌دهد.



شکل (۲-۳): فلوشیت آماده سازی نمونه جهت شناسایی نمونه



شکل (۳-۳): فلوشیت آماده سازی نمونه برای آزمایش‌های میز



شکل (۴-۳): فلوشیت آماده سازی نمونه برای آزمایش‌های سیانوراسیون

## ۲- اندازه گیری طلا

چون طلا در نمونه جامد و در محلول حاصل از سیانوراسیون به دو صورت جامد و محلول وجود دارد بنابراین دو شیوه آزمایش برای اندازه گیری طلا انجام گرفت که در زیر این دو شیوه بصورت جداگانه توضیح داده می‌شود.

### ۱-۱- اندازه گیری طلا بصورت جامد<sup>۱</sup>

قبل از تشریح روش اندازه گیری، ذکر این نکته لازم است که اندازه گیری طلا به روشهای معمولی خطای زیادی را به همراه دارد و در سراسر دنیا روش اندازه گیری طلا یا بوسیله روش (Fire Assay) یا بوسیله دستگاه جذب اتمی مجهر به کوره گرافیتی است. اگرچه این روش گران و فرآیندی طولانی است ولی هنوز هم تقریباً در تمام معادن استفاده می‌شود. جهت انجام آزمایش ۵۰ گرم از نمونه جامد پودر شده (درصد زیر ۸۰ ۷۵ میکرون) از نمونه‌ای مورد نظر برداشته می‌شود. برای نمونه برداری، پس از مخلوط کردن کامل نمونه آنرا پهن و مسطح کرده و توسط خط کش بصورت شطرنجی تقسیم بندی می‌کنند. سپس بوسیله کاردک از مرکز مریع ها نمونه برداری می‌شود تا ۵۰ گرم نمونه بدست آید. نمونه حاصل بداخل یک هاون ریخته شده و ۱۵۰ گرم کمک ذوب به آن اضافه و در داخل هاون بخوبی مخلوط می‌شود (کمک ذوب از کربنات سدیم، براس، لیتارز، آرد، نفت و نیترات نقره به نسبهای معینی مخلوط شده و بصورت آماده نیز وجود دارد).

مخلوط حاصل شده را درون بوته ای که از جنس خاک نسوز است ریخته و روی آنرا بوسیله لایه ای نازک از براس می‌پوشانند. سپس بوته درون کوره گذاشته می‌شود که حرارت اولیه آن حدود ۸۰۰ درجه سانتیگراد است. سپس حرارت کوره بطور ملایم در طول ۴۵ دقیقه به حدود ۹۵۰ درجه سانتیگراد رسانده می‌شود. پس از ۱۵ دقیقه که کوره در این حرارت ثابت ماند درب کوره باز شده و بوته بازبینی می‌شود و بیرون از کوره تکان داده می‌شود تا ماده مذاب کاملاً مخلوط شود و دوباره بوته به درون کوره گذاشته می‌شود. بعد از ۱۵ دقیقه بوته را خارج می‌کنند و ماده مذاب را درون ظرفی مخروطی شکل می‌ریزنند. لازم بذکر است که ذوبی که انجام می‌گیرد ذوب قلیایی است و لیتارز مورد استفاده در کمک ذوب توسط فعل و انفعالات شیمیائی احیا شده به صورت سرب فلزی در می‌آید، این سرب تمام فلزات گرانبهای را بخود جذب می‌کند و بعلت سنگینی بیشتر در ته ظرف مخروطی جمع می‌شود.

پس از سرد شدن محصول ذوب آنرا برروی میز فلزی خالی می‌کنند و با ضربه‌های چکش

<sup>۱</sup> Fire Assay

سرباره را که در قسمت بالای محصول ذوب وجود دارد جدا میکنند، سپس سرب حاصل را با چکش میکوبند تا تمام سرباره جدا شده و سرب را به شکل مکعب مستطیل در میآورند و سپس به قسمت کوپلاسیون ارسال میگردد. در قسمت کوپلاسیون به سرب حاصل مقداری ورقه نقره ای خالص (عاری از طلا) اضافه میشود. ابتدا کوپل را درون کوره کوپلاسیون گذاشته و حداقل به مدت ۳۰ دقیقه در درجه حرارت ۷۰۰-۸۰۰ درجه سانتیگراد پیش گرم میکنند تا تمام ناخالصی ها و گازهای موجود در آن از بین بروند (کوپل از استخوان ساخته میشود بدین ترتیب که استخوان را سوزانیده و سپس پودر میکنند و با آب مقطر مخلوط کرده و قالب میزنند و گاهی کوپل از منیزیت به اضافه مقدار کمی سیمان ساخته میشود. خاصیت آن جذب سرب به اندازه وزن خود کوپل است). سپس درجه حرارت را به ۹۰۰-۹۵۰ درجه سانتیگراد رسانیده و سرب همراه با نقره را در داخل کوپل میگذارند و درب کوره را میبندند. پس از ۲۰-۳۰ دقیقه درب کوره را کمی باز میگذارند تا سرب اکسیده شده و بصورت بخار اکسید سرب خارج گردد. بنابراین مقداری از سرب جذب کوپل شده و مقداری نیز تصعید میشود. جسمی که در پایان فرآیند کوپلاسیون باقی میماند دانه ای نقره ای همراه با طلاست. این نمونه به قسمت اسیدشویی فرستاده میشود. در قسمت اسیدشویی ۵/۰ میلی لیتر اسید نیتریک غلیظ درون لوله آزمایش ریخته و بر روی اجاق برقی گذاشته شده و دانه نقره ای را درون لوله می اندازند و حرارت می دهند تا نقره بوسیله اسید نیتریک حل شود. پس از اتمام واکنش، لوله آزمایش در هوای اتاق سرد میشود. سپس ۱ میلی لیتر اسید کلریدریک غلیظ به آن اضافه میشود. لوله آزمایش را به مدت حداقل دو ساعت در دمای اتاق میگذارند تا واکنش کلرید سفید رنگ نقره رسوب میکند و محیطی تیزابی برای انحلال طلا آماده میشود. سپس ۸/۵ میلی لیتر آب مقطر اضافه میکنند و توسط دستگاه جذب اتمی غلظت طلا را مشخص میکنند. دقت اندازه گیری در این روش ۰/۱ ppm است.

## ۲-۲- اندازه گیری محلولهای سیانوری طلا

محلول حاوی طلای حاصل از فرآیند سیانوراسیون را با روشهای معمولی نمیتوان اندازه گیری نمود. روش مناسب برای اندازه گیری طلای حل شده درسیانور، روش استخراج طلا از محلول سیانوری توسط مواد آلی است. روش کار چنین است که مقدار مشخصی از محلول سیانور بسته به عیار تقریبی که حدس زده میشود (۵تا ۲۵ میلی لیتر) توسط پیپت برداشته و در داخل یک بالن ژوژه ۱۰۰ میلی لیتری ریخته و سپس پنج میلی لیتر KCl ۲۵ درصد و ۳۰ میلی لیتر KCN ۰/۱

درصد (1000 ppm) و پنج میلی لیتر از حلal آلی (DIBK<sup>1</sup>) اضافه می‌شود (DIBK حلal آلی دی ایزو بوتیل کتن شامل یک درصد نمک تری و اکتیل متیل کلراید آمونیم یا الیکوت ۳۳۶ است). سپس محلول حاصل بمدت حداقل یک دقیقه باشدت به هم زده می‌شود. تقریباً ۹۹ درصد طلا جذب ماده آلی می‌شود، سپس غلظت طلا در ماده آلی توسط دستگاه جذب اتمی اندازه گیری شده و عیار طلا محاسبه می‌گردد. دقت اندازه گیری در این روش حدود ۰/۰۱ ppm است که دقت بسیار خوبی است.

### ۳- اندازه گیری سیانور آزاد

برای تعیین مقدار سیانور آزاد CN<sup>-</sup> در محلولهای بدست آمده از فرآیند سیانوراسیون غالباً از روش تیتراسیون بوسیله نیترات نقره استفاده می‌شود. برای این منظو از محلول ۰/۰۱۰۲ مولار نیترات نقره و محلول ۱۰ درصد ییدید پتابسیم استفاده می‌شود. ییدید پتابسیم علاوه بر تشخیص آسان نقطه پایانی واکنش در اثر تغییر رنگ، از واکنش نیترات نقره با کمپلکس مس جلوگیری کرده و مانع از اندازه گیری این کمپلکس مس به عنوان سیانور آزاد می‌شود. در اثر این عمل دقت اندازه گیری سیانور آزاد افزایش می‌یابد.

برای تهییه محلول ۰/۰۱۰۲ مولار نیترات نقره ۱/۷۳ گرم AgNO<sub>3</sub> (با وزن ملکولی ۱۶۹/۶۱) در یک لیتر آب مقطر حل می‌شود. نیترات نقره در برابر نور آفتاب تجزیه می‌شود، بنابراین محلول آماده شده باید در یک ظرف تیره نگهداری شود. برای تهییه محلول ۱۰ درصد ییدید پتابسیم ۱۰ گرم از این ماده در ۱۰۰ میلی لیتر آب مقطر حل می‌شود.

روش کار بدین صورت است که حدود ۱۰ میلی لیتر از محلول مورد آزمایش برداشته شده و به آن ۳ تا ۴ قطره (در حدود ۰/۵ میلی لیتر) از محلول ییدید پتابسیم بعنوان معرف اضافه و توسط نیترات نقره تیتر می‌شود. تیتراسیون تا زمان تغییر رنگ محلول به حالت ابری متمایل به آبی ادامه می‌یابد. مقدار مصرف محلول نیترات نقره بر حسب میلی لیتر در عدد ۱۰ ضرب می‌شود تا مقدار سیانور آزاد بر حسب ppm بدست آید (یا ضربدر ۰/۰۱ می‌شود تا مقدار سیانور آزاد بر حسب درصد بدست آید). لازم بذکر است که محلول باید قبل از آزمایش به وسیله فیلتراسیون کاملاً شفاف شود.

<sup>1</sup> DIBK

<sup>2</sup> Aliquat-336

#### ۴- تخمین سیانور مصرفی توسط کانسنگ

تخمین دقیق سیانور مصرفی در طول آزمایش‌های لیچینگ با نمونه‌برداری از پالپ در فواصل زمانی منظم و تعیین سیانور آزاد آن به روش تیتراسیون میسر می‌باشد. اما برای تخمین اولیه سیانور مصرفی و همچنین غربالگری فرآیندها می‌توان از روش ساده و سریع استفاده کرد. برای این منظور ۴۰ الی ۵۰ گرم نمونه به نسبت ۱ به ۳ با محلول سیانور ۰/۵ درصد به مدت دو ساعت در  $pH = 10/5$  لیچ می‌شود. پس از اتمام لیچینگ پالپ فیلتر شده و نمونه‌ای به حجم ۱۰ میلی‌لیتر از محلول آن برداشته می‌شود. این محلول جهت اندازه‌گیری سیانور آزاد تیتر می‌شود. پس از اندازه‌گیری سیانور آزاد مقدار سیانور مصرفی قابل محاسبه است.

#### ۵- آزمایش ثقلی

برای انجام آزمایشهای ثقلی از میز ویفلی استفاده شده است. برای این منظور نمونه‌ای به وزن ۴ کیلوگرم توسط آسیای میله‌ای با خردایش مرحله‌ای به اندازه مورد نظر آسیا می‌شود. نمونه پس از آسیا کردن خشک می‌شوند. نمونه خشک شده برای برطرف کردن کلوخه از سرند ۴۵ مشن عبور داده شده و آماده آزمایش میز می‌شود. تمام آزمایش‌ها میز در شرایط یکسان به شرح جدول (۱-۲) انجام شده است. آزمایش‌های میز شامل سه محصول کنسانتره، میانی و باطله بوده‌اند.

جدول (۱-۳) شرایط انجام آزمایش‌های میز

پارامتر	مقدار	پارامتر	مقدار
شیب میز(درجه)	۴	نرخ خوراک دهی(g/min)	۶۰۰
آب شستشو(l/min)	۴	نرخ آب پالپ(l/min)	۵

#### ۶- سیانوراسیون همزنی

نمونه‌های مورد استفاده برای لیچینگ سیانوری طبق فلوشیت شکل (۴-۲) آماده‌سازی شده است. وزن نمونه‌های بدست آمده از این فلوشیت ۱/۵ کیلوگرم می‌باشد. این نمونه‌های ۱/۵ کیلوگرمی در داخل آسیای گلوله‌ای به مدت از پیش تعیین شده توسط طرح آزمایش‌ها با درصد جامد ۶۰ درصد آسیا می‌شود. توزیع دانه‌بندی محصولات آسیا در بخش چهار آمده است.

برای لیچینگ کانسار فوق از روش همزنی استفاده شده است. برای این منظور همزنهای هایدولف بکار گرفته شده است. برای لیچینک از بشرهای شیشه‌ای ۵ لیتری استفاده شده است. جهت یکسان بودن الگوی اختلاط قطر بشر و پره همزن در تمام آزمایشات یکسان بوده است. همچنین دور

همزن در تمام آزمایش‌ها ۴۰۰ دور در دقیقه بوده است. دمای انجام آزمایشها دمای محیط (۲۷ درجه) بوده که حداکثر تغییر دمای بیش از ۵ درجه سیلیسیوس نبود.

طرح آزمایشات شامل تعداد و شرایط آزمایش‌ها توسط طراحی آماری آزمایش‌ها به روش تاگوچی مشخص شده است. در این آزمایش‌ها تاثیر عوامل دانه‌بندی، pH، غلظت سیانور در دو سطح مورد بررسی قرار گرفت. با توجه به تعداد عوامل و سطوح آن آرایه L4 برای این منظور مناسب تشخیص داده شد این آرایه حاوی ۴ آزمایش است. آزمایش‌ها طبق این طرح و جهت حذف تاثیر عوامل غیر قابل کنترل به طور تصادفی انجام شده است.

برای انجام آزمایش‌ها ابتدا به مقدار محاسبه شده داخل بشر آب ریخته می‌شود تا درصد جامد مورد نظر بدست آید. سپس مقدار مشخص سیانور به صورت جامد یا به صورت محلول یک درصد سیانور به آب اضافه شده تا غلظت سیانور مورد نظر حاصل شود. در نهایت نمونه آماده شده به آن اضافه شده و pH پالپ با افزودن شیر آهک با غلظت یک درصد هیدرات کلسیم تنظیم می‌شود. حجم شیر آهک در تمام مراحل تنظیم pH جهت محاسبه مقدار آهک مورد نیاز یادداشت می‌شود.

جهت تعیین نرخ مصرف سیانور و تنظیم غلظت آن همچنین نرخ انحلال طلا در زمانهای ۱، ۷ و ۲۴ ساعت از پالپ هر آزمایش نمونه‌برداری شد. جهت نمونه‌برداری ابتدا دستگاه همزن را خاموش کرده و به مدت ۵ دقیقه اجازه تهشیینی به پالپ داده می‌شود. این عمل به منظور سهولت فیلتراسیون انجام می‌شود. پس از تشکیل خط گل و شفاف شدن مایع روی خط گل توسط بشری ۱۰۰ میلی‌لیتر آن به آرامی نمونه‌برداری شده به طوری که مواد جامد تا حد ممکن به داخل نمونه انتقال نیابد. نمونه برداشته شده در داخل بشر ۱۰۰ میلی‌لیتر دیگر ریخته می‌شود. این عمل چند بار تکرار شده تا حجم نمونه برداشت شده به ۱۰۰ میلی‌لیتر برسد.

نمونه برداشت شده جهت حذف مواد جامد معلق و شفاف سازی محلول توسط فیلتر خلاء فیلتر می‌شود. برای این منظور از فیلتر زیتر گلس (شیشه‌ی زیتر شده) استفاده شده است. قبل از ریختن محلول در داخل قیف زیتر گلس داخل آن یک عدد کاغذ فیلتر گذاشته می‌شود تا از کور شدن و کاهش کارائی آن جلوگیری شود. تمام شیشه آلات مورد استفاده در نمونه برداری، فیلتراسیون و تیتراسیون باید کاملاً خشک باشند. پس از فیلتراسیون حجم نمونه برداشت شده به دقت اندازه گیری شده و از آن نمونه‌ای به حجم ۱۰ میلی‌لیتر برای تیتراسیون گرفته می‌شود. مابقی محلول جهت ارسال به آزمایشگاه برای اندازه گیری طلا، مس، سرب، روی، آرسنیک داخل بطری ریخته شده و نگهداری می‌شود.

نمونه گرفته شده از محلول شفاف شده به داخل یک بشر ۱۰۰ یا ۵۰ میلی لیتر (کاملا خشک) دیگر انتقال یافته و به مقدار سه الی چهار قطره (یا ۰/۵ میلی لیتر) به آن یدید پتاسیم اضافه می شود. سپس با نیترات نقره یک درصد تیتر شده تا غلظت سیانور آزاد بدست آید. با مشخص شدن مقدار سیانور آزاد، میزان سیانور لازم برای تنظیم غلظت آن به مقدار اولیه از رابطه زیر استفاده می شود.

$$M_{NaCN} = C_{NaCN}^P \times 10 \times \left( \frac{100-S}{S} \times M_S \right) - C_{NaCN}^F \times 10 \times \left( \frac{100-S}{S} \times M_S - \frac{V_S}{1000} \right)$$

در این رابطه  $M_{NaCN}$  وزن سیانور مورد نیاز،  $C_{NaCN}^P$  غلظت سیانور اولیه،  $S$  درصد جامد پالپ،  $M_S$  وزن نمونه اولیه،  $C_{NaCN}^F$  غلظت سیانور آزاد اندازه گیری شده و  $V_S$  حجم نمونه برداشت شده از پالپ است.

پس از این محاسبات به مقدار وزن سیانور سدیم محاسبه شده، از محلول یک درصد NaCN از قبل آماده شده حجم مشخصی برداشته می شود. حجم سیانور برداشت شده با آب به اندازه حجم نمونه برداشت شده رسانده شده و به پالپ اضافه می شود. در صورتیکه حجم سیانور مورد نیاز بیشتر از حجم نمونه برداشت شده (تقریباً ۱۰۰ میلی لیتر) باشد. جهت جلوگیری از به هم خوردن درصد جامد، سیانور مورد نیاز به صورت جامد توزین شده و در ۱۰۰ میلی لیتر آب حل شده و به پالپ اضافه می شود.

# فصل ۴

## مطالعات

### آزمایشگاهی

#### ۱- شناسایی نمونه

۱-۱- تعیین ترکیب شیمیایی نمونه بوسیله XRF و آنالیز ترجهت تعیین ترکیب شیمیایی نمونه (اکسید عناصر اصلی) از روش XRF و آنالیز تراستفاده شد. نتایج این آنالیزها برای نمونه طلای بزمان به شرح جدول(۱-۴) می‌باشد. طبق این نتایج نمونه حاوی بیش از ۸۰ درصد اکسید سیلیسیم( $\text{SiO}_2$ ) است که نشان می‌دهد کانسنگ از نوع سیلیسی است.

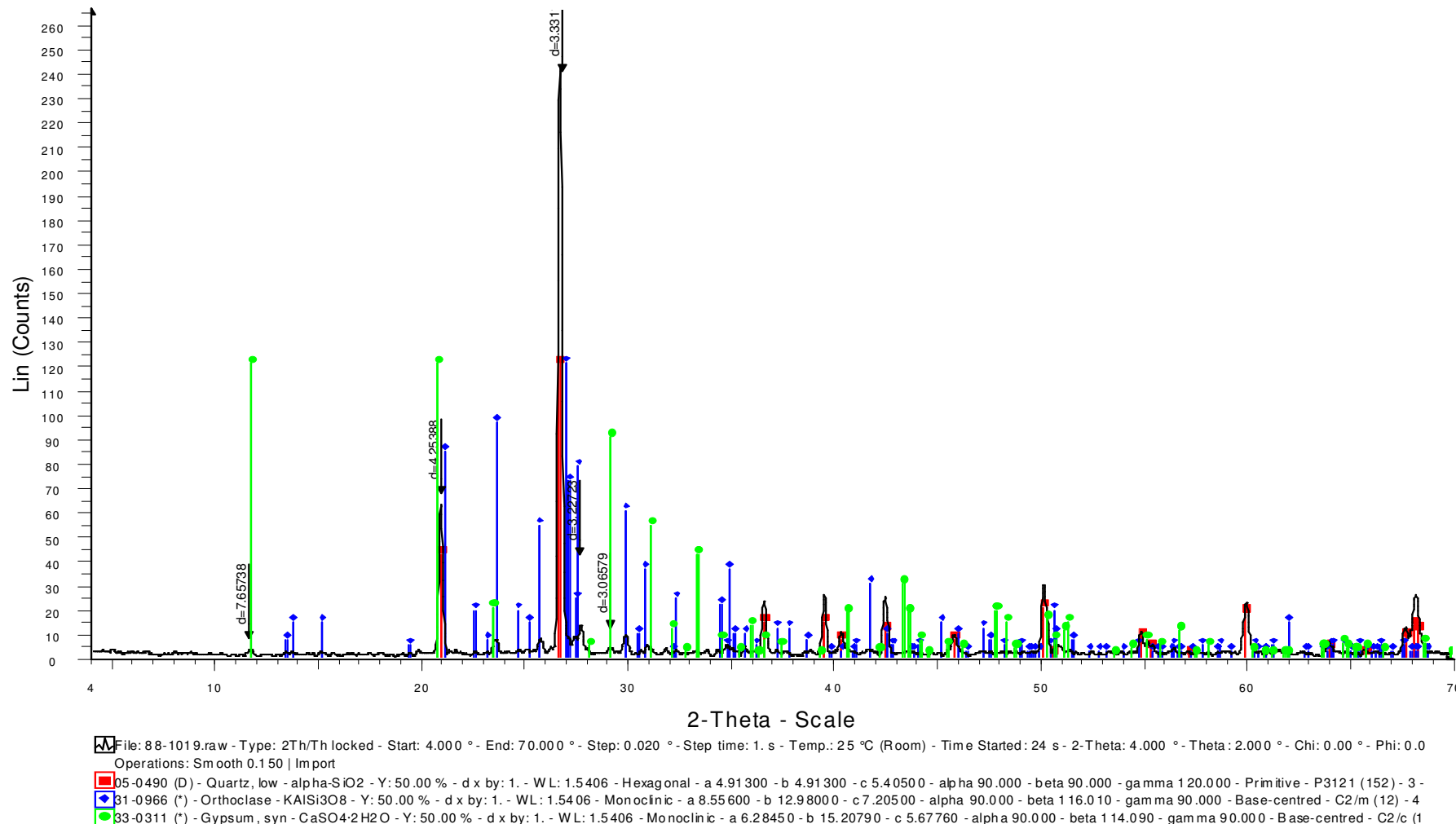
۱-۲- تعیین کیفی ترکیب کانی شناسی به روش XRD  
جهت شناسایی کانیهای اصلی موجود در نمونه ها از روش XRD(پراش اشعه ایکس) استفاده شد. نتایج XRD برای نمونه فوق به شرح جدول(۲-۴) و نمودار شکل(۱-۴) می‌باشد. در این جدول ترتیب قرار گیری کانی‌ها نشان دهنده فراوانی آنهاست. حد آستانه تشخیص XRD معمولاً ۵ درصد است؛ بنابراین اکثر کانی‌های موجود در نمونه توسط این روش تشخیص داده نمی‌شود.

جدول (۱-۴): ترکیب شیمیایی نمونه کانسار طلای بزمان

ردیف	اکسید عناصر(%)	XRF	آنالیز تر
۱	Na <sub>2</sub> O	۰/۴۹	۰/۳۲
۲	MgO	۰/۱۷	۱/۱۱
۳	Al <sub>2</sub> O <sub>3</sub>	۵/۲۵	۳/۰۶
۴	SiO <sub>2</sub>	۷۹/۶۹	۸۴/۰۱
۵	SO <sub>3</sub>	۴/۶۴	-
۶	K <sub>2</sub> O	۳/۲۳	۲/۷۵
۷	CaO	۲/۰۹	۱/۵۵
۸	Fe <sub>2</sub> O <sub>3</sub>	۱/۸۸	۲/۰۹
۱۰	P <sub>2</sub> O <sub>5</sub>	۰/۰۳	۰/۰۹
۱۱	MnO		۰/۲
۱۲	L.O.I	۱/۸۸	۳/۳۹

جدول (۲-۴): ترکیب کانی شناسی نمونه کانسنگ طلای بزمان

ردیف	کانی	ترکیب شیمیایی
کانسنگ اولیه		
۱	کوارتنز	SiO <sub>2</sub>
۲	اورتوکلاز	KAlSi <sub>3</sub> O <sub>8</sub>
۳	ژیپس	CaSO <sub>4</sub> .2H <sub>2</sub> O



شکل (۱-۴): نمودار XRD نمونه کانسنج طلای بزمان

### ۱-۳- تعیین مقدار طلا و نقره

برای تعیین بهتر مقدار طلا در نمونه علاوه بر تعیین مستقیم از تعیین به روش تجزیه سرندی (۲۰۰ مش) و آنالیز جداگانه فراکسیونها نیز استفاده شده است. در نهایت متوسط آنها به عنوان عیار متوسط کانسنگ در نظر گرفته شده است. بر این اساس نمونه طلای بزمان حاوی  $1/1 \text{ ppm}$  طلا و  $2/95 \text{ ppm}$  نقره است.

### ۱-۴- تعیین عناصر مضر از دیدگاه فرآیند

عناصر فلزات پایه مثل مس، سرب و روی و سایر عناصر از جمله آرسنیک، آنتیموان، بیسموت، جیوه و تلویریم عناصر مضر در فرآیند است. وجود آنها نشان دهنده کانیهای مصرف کننده سیانور و ترکیباتی است که موجب مقاوم شدن کانسنگ می شود. [جدول \(۳-۴\)](#) آنالیز ICP نمونه را نشان می دهد. طبق این آنالیزها عیار فلزات مزاحم بحرانی به نظر نمی رسد.

[جدول \(۳-۴\): عیار عناصر مضر از دیدگاه فرآیند](#)

عناصر	غله (ppm)	عنصر	غله (ppm)
Ag	2.50	Mo	1.3
%Al <sub>2</sub> O <sub>3</sub>	4.4	%Na <sub>2</sub> O	0.2
As	6.4	Nb	4.2
B	6.0	Nd	8.3
Ba	145	Ni	5.4
Be	0.8	P	124.0
Bi	<0.5	Pb	23.3
%CaO	1.6	Rb	60.9
Cd	<0.1	S	9408
Ce	20.4	Sb	0.3
Co	4.7	Sc	5.0
Cr	192.7	Se	0.3
Cs	1.7	Sm	2.5
Cu	48.0	Sn	1.8
Dy	0.6	Sr	244.9
Eu	0.3	Ta	1.2
%Fe <sub>2</sub> O <sub>3</sub>	2.3	Th	5.10
Ga	4.8	Ti	1126
Ge	0.8	Tm	0.2
Hf	3.5	U	1.8
Hg	0.05	V	43.0
%K <sub>2</sub> O	2.6	W	<0.3
La	6.5	Y	5.7
Li	71.2	Yb	0.5
%MgO	0.2	Zn	59.9
Mn	227.1	Zr	45.0

## ۱-۵- وزن مخصوص و رطوبت

طبق اندازه گیریهای انجام شده نمونه حاوی  $1/101$  درصد رطوبت است. وزن مخصوص نمونه نیز  $2/7$  می‌باشد.

## ۲- آزمایشها ثقلی

استفاده از روش ثقلی برای بازیابی طلای آزاد از دو جنبه حائز اهمیت است. اولاً طلا در کانسنسگ مثل سرمایه است، لذا بازیابی زودتر آن از جهت بازگشت سریع سرمایه اهمیت دارد. زمان بازیابی در روش‌های ثقلی زودتر از روش‌های دیگر مثل سیانوراسیون است. از طرف دیگر وجود طلای درشت دانه موجب افزایش زمان سیانوراسیون می‌شود و در صورت استفاده از زمان ماند پائین افت شدیدی در بازیابی طلا بوجود می‌آید.

برای بازیابی طلای درشت دانه از کانسسار فوق در این تحقیق از میز لرزان استفاده شده است. برای این منظور امکان بازیابی در چهار دانه بندی  $45-60-80$ -مش تحت شرایط ذکر شده در بخش هفت فصل سوم بررسی شد. آماده سازی نمونه برای آزمایشها نیز در همین فصل توضیح داده شده است. نتایج این آزمایشها برای بازیابی طلا [جدول\(۴-۴\)](#) آمده است. این جدول نشان می‌دهد با کاهش دانه‌بندی از  $45$  مش به  $80$  میزان بازیابی طلا از  $14/5$  به  $26$  درصد و عیار طلا از  $2$  به  $6$  ppm افزایش می‌یابد. با این وجود نتیجه چندان چشمگیر نیست.

## ۳- سیانوراسیون

### ۳-۱- تخمین سیانور مصرفی

برای تخمین سیانور مصرفی  $50$  گرم نمونه به نسبت  $1$  به  $3$  با محلول سیانور  $0/5$  درصد به مدت دو ساعت در  $pH=10/5$  لیچ می‌شود. پس از اتمام لیچینگ پالپ فیلتر شده و نمونه‌ای به حجم  $10$  میلی‌لیتر از محلول آن برداشته می‌شود. این محلول جهت اندازه‌گیری سیانور آزاد تیتر می‌شود. پس از اندازه‌گیری سیانور آزاد مقدار سیانور مصرفی قابل محاسبه است. طبق نتایج این آزمایشات میزان مصرف سیانور برای کانسنسگ بزمان در حدود  $3/5$  کیلوگرم بر تن کانسنسگ بدست آمد.

جدول(۴-۴): نتایج آزمایش‌های میز لرزان برای بازیابی طلا

محصولات	مشخصات	آزمایش ۲	آزمایش ۳	آزمایش ۴
خوراک	دانه‌بندی (مش)	-45	-60	-80
	وزن (گرم)	3779.00	3730.00	3613.00
	عيار (گرم بر تن)	1.10	1.10	1.10
کسانتره	وزن (گرم)	290.10	167.30	177.40
	عيار (گرم بر تن)	2.00	2.08	6.06
میانی	وزن (گرم)	274.20	78.10	103.00
	عيار (گرم بر تن)	1.05	0.99	1.04
باطله	وزن (گرم)	2906.60	3150.00	3243.30
	عيار (گرم بر تن)	1.08	1.05	0.88
خوراک	وزن (گرم)	3470.90	3395.40	3523.70
	عيار (گرم بر تن)	1.15	1.10	1.15
خطای وزن خوراک (%)				
خطای عیار خوراک (%)				
بازیابی کسانتره (%)				
بازیابی میانی (%)				
بازیابی کل (%)				

### ۲-۳ - سیانوراسیون به روش همزنی

روش انجام آزمایش‌های سیانوراسیون در بخش ۹ فصل سوم توضیح داده شده است. برای انجام آزمایش از طراحی آماری آزمایش‌ها به روش تاگوچی استفاده شده است. برای این منظور از ۵ عامل در چهار سطح استفاده شده است (جدول ۴-۵). با توجه به درجه آزادی کل عوامل آرایه متعامد L<sub>4</sub> برای این منظور مناسب است. آزمایش‌ها طبق این طرح و به طور تصادفی انجام شد. معیار

ارزیابی عملکرد آزمایش‌ها یا به بیان دیگر متغیر پاسخ در آزمایش‌ها بازیابی طلا، بازیابی نقره، مصرف سیانور و بازدهی اقتصادی بوده است. **جدول (۶-۴)** طرح آزمایش‌ها را به همراه متغیر پاسخ آنها نشان می‌دهد. **شکل (۲-۴)** تا **شکل (۵-۴)** نیز نمودار این متغیرهای پاسخ رای برای آزمایشات مختلف نسبت به زمان نشان می‌دهد. همانطور که مشخص است بازیابی طلا و نقره با افزایش زمان تا ۷ ساعت به سرعت افزایش یافته و پس از آن ثابت می‌ماند. مصرف سیانور با افزایش زمان لیچینگ پیوسته افزایش می‌یابد. بازدهی اقتصادی نیز با افزایش زمان تا ۷ ساعت به سرعت افزایش و بعد از آن ثابت مانده و یا کاهش می‌یابد. با توجه به این مطلب شرایط بهینه زمانی ۷ ساعت بوده و برای بدست آوردن سایر شرایط، بازدهی اقتصادی در زمان لیچینگ ۷ ساعت بررسی می‌شود.

جدول (۵-۴): عوامل و سطوح آن

سطح دوم	سطح اول	سطوح عوامل
۶۰	۳۰	زمان خردایش (دقیقه)
۰/۱	۰/۰۵	غلظت سیانور (%)
۱۰/۹	۱۰/۴	pH

### ۱-۲-۳- ارزیابی بازیابی طلا

ارزیابی آماری نتایج آزمایش‌ها طبق جدول ANOVA نشان می‌دهد عوامل موثر بر بازیابی طلا در این آزمایشها غلظت سیانور و دانه‌بندی بوده است (**جدول (۷-۴)**).

**شکل (۶-۴)** و **شکل (۷-۴)** نمودار تاثیر دانه‌بندی و غلظت سیانور بر بازیابی طلا را نشان می‌دهد. کاهش اندازه دانه‌بندی (افزایش زمان خردایش) و افزایش غلظت سیانور باعث افزایش بازیابی طلا می‌شود.

با توجه به این نتایج شرایط بهینه برای بازیابی طلا از ان قرار است: زمان خردایش (دانه‌بندی) ۶۰۰ دقیقه خردایش ( $d=80\text{ میکرون}$ )، غلظت سیانور  $1/0$  درصد، درصد جامد  $40$  درصد، pH نیز در حدود  $10/4$  (pH طبیعی محلول). در این شرایط  $84$  درصد طلا قابل بازیابی است. **جدول (۸-۴)** و **جدول (۹-۴)** به ترتیب شرایط بهینه و فاصله اطمینان برای بازیابی در شرایط بهینه را نشان می‌دهند. طبق این فاصله اطمینان نتایج آزمایش‌ها معتبر است. زیرا آزمایش شماره  $4$  مطابق با شرایط بهینه بوده و بازیابی آن برابر با  $82/5$  در بازه  $80/9$  تا  $86/9$  قرار می‌گیرد.

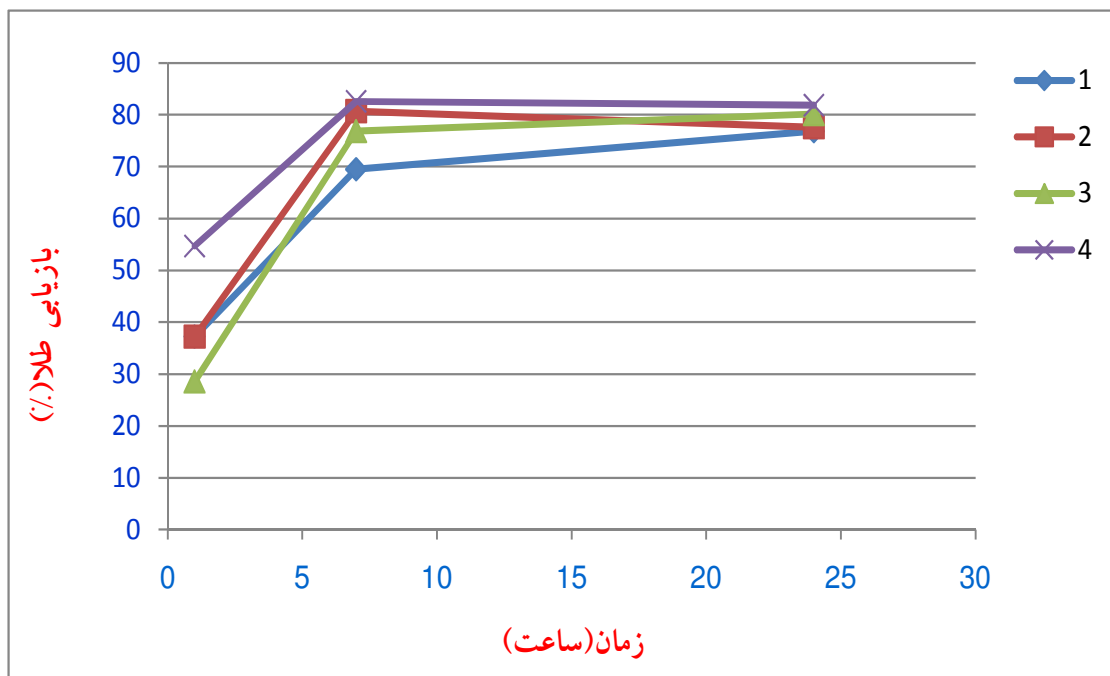
جدول (۶-۴): طرح آزمایش‌های سیانوراسیون به همراه بازیابی طلا نقره، مصرف سیانور و بازدهی اقتصادی

مصرف سیانور Kg/t			بازیابی نقره (%)			بازیابی طلا (%)			pH	غلظت سیانور (%)	دانه‌بندی (دقیقه)	ترتیب آزمایش	شماره آزمایش
۲۴ ساعت	۷ ساعت	۱ ساعت	۲۴ ساعت	۷ ساعت	۱ ساعت	۲۴ ساعت	۷ ساعت	۱ ساعت					
1.075	0.68	0.355	61.05	59.35	47.37	76.86	69.5	37.22	10.4	0.05	30	3	1
3.015	2.245	1.18	65.58	68.77	47.37	77.56	80.68	37.23	10.9	0.1	30	2	2
2.51	1.215	0.92	65.38	62.88	41.05	80.15	76.87	28.55	10.9	0.05	60	1	3
3.37	1.45	1.19	69.5	66.91	54.74	81.83	82.56	54.7	10.4	0.1	60	4	4

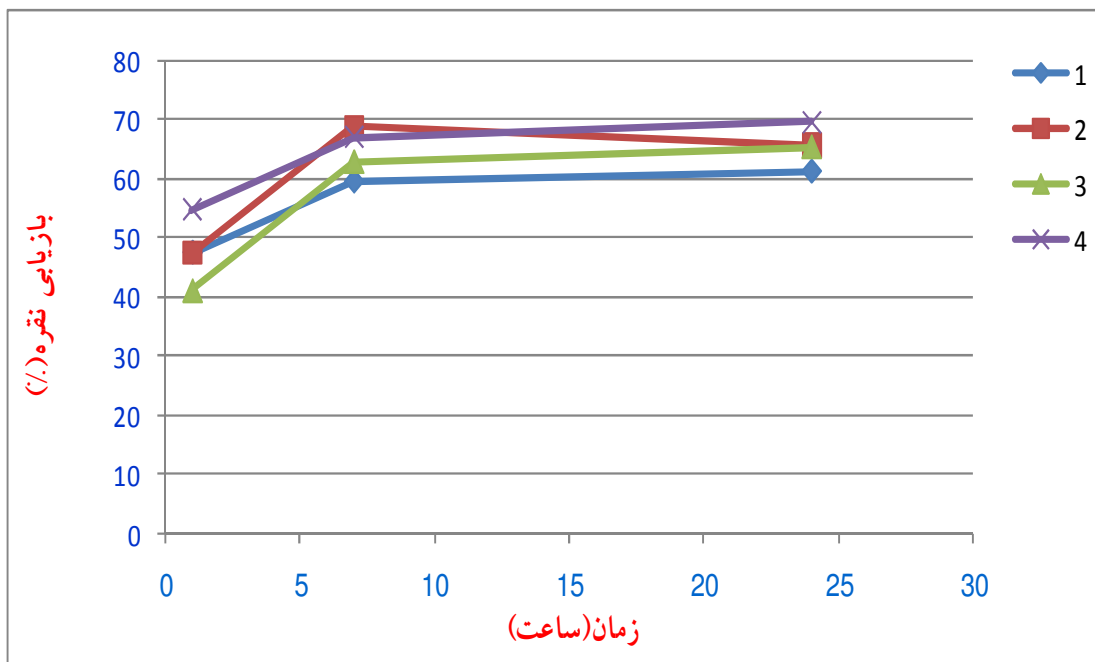
بازدهی اقتصادی Toman/ton			مصرف انرژی برق Kwh/t			مصرف آهک Kg/t			pH	غلظت سیانور (%)	دانه‌بندی (دقیقه)	ترتیب آزمایش	شماره آزمایش
۲۴ ساعت	۷ ساعت	۱ ساعت	۲۴ ساعت	۷ ساعت	۱ ساعت	۲۴ ساعت	۷ ساعت	۱ ساعت					
38956	36325	19732	9.4	9.4	9.4	0.55	0.55	0.55	10.4	0.05	30	3	1
32653	37120	16829	9.4	9.4	9.4	0.75	0.75	0.75	10.9	0.1	30	2	2
35691	38385	12764	11.6	11.6	11.6	1.06	1.06	1.06	10.9	0.05	60	1	3
33754	40794	26348	11.6	11.6	11.6	0.55	0.55	0.55	10.4	0.1	60	4	4

راندمان اقتصادی از رابطه  $R_E = R_{Au} \times G_{Au} \times 48970 + R_{Ag} \times G_{Ag} \times 1060 - C_C \times 3500 - E \times 40 - LC \times 100$  محاسبه شده است.

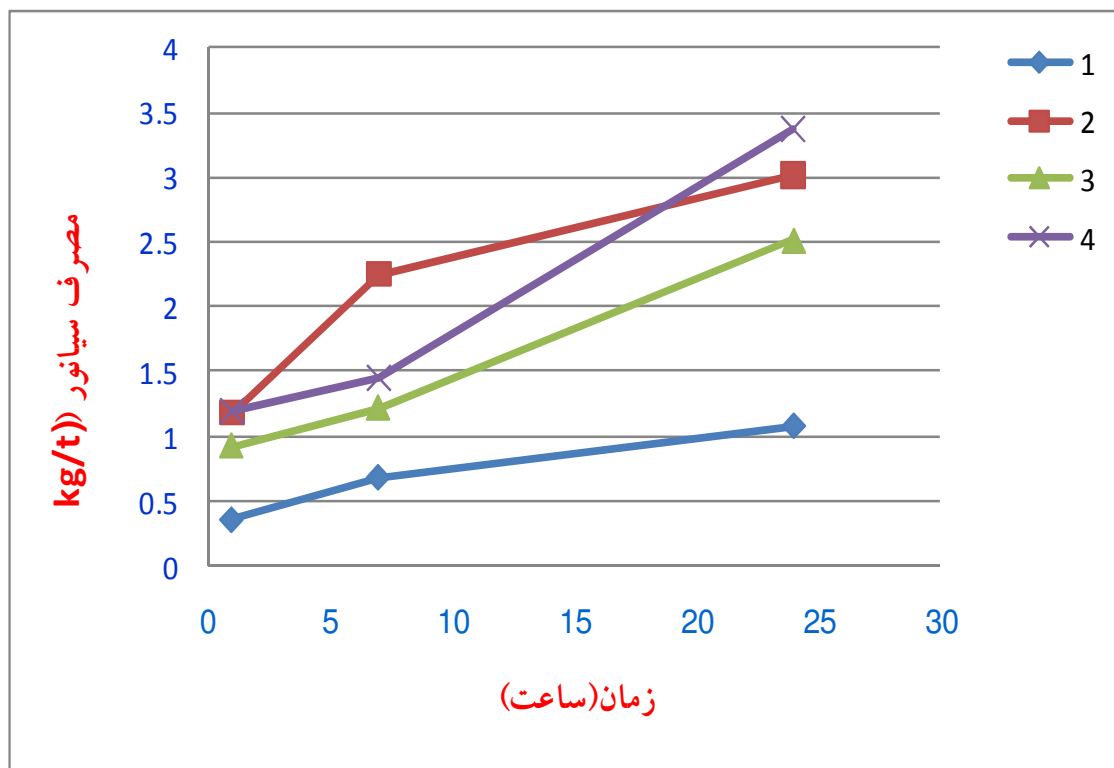
در این رابطه  $R_E$  بازدهی اقتصادی،  $R_{Au}$ ،  $G_{Au}$ ،  $R_{Ag}$  و  $G_{Ag}$  به ترتیب بازیابی و عیار طلا و نقره و  $C_C$  مصرف سیانور،  $E$  میزان مصرف انرژی برای خردایش و  $LC$  میزان مصرف آهک به ازای یک تن کانسنگ می‌باشد



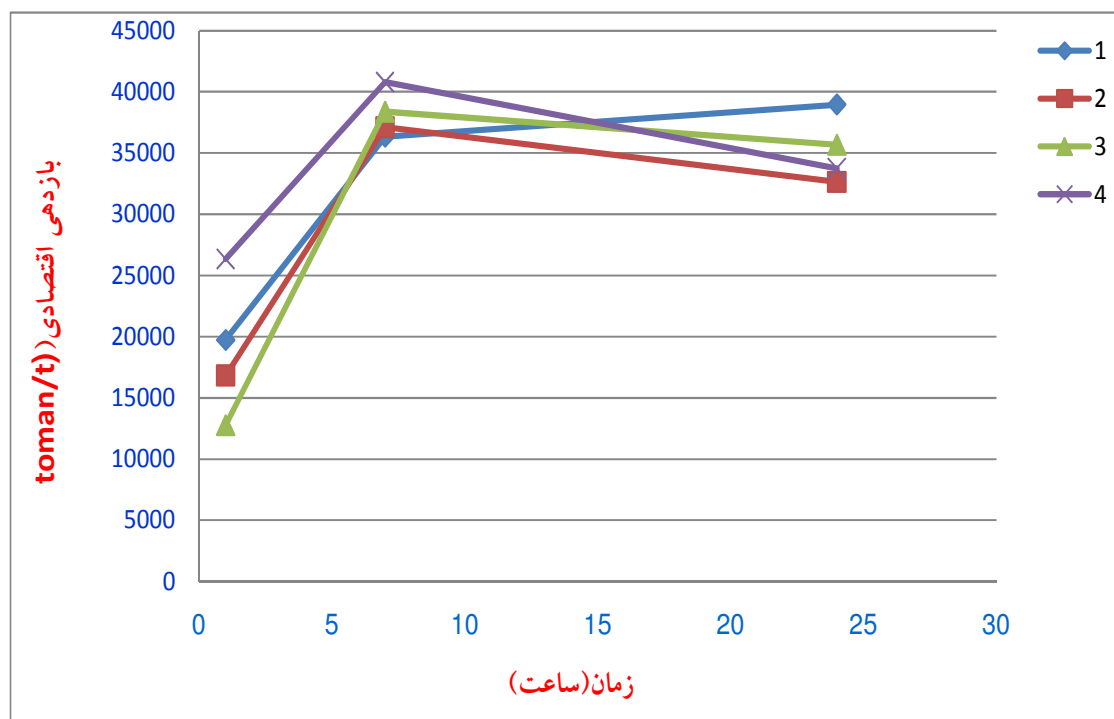
شکل (۲-۴): نمودار بازیابی-زمان برای طلا



شکل (۳-۴): نمودار بازیابی-زمان برای نقره

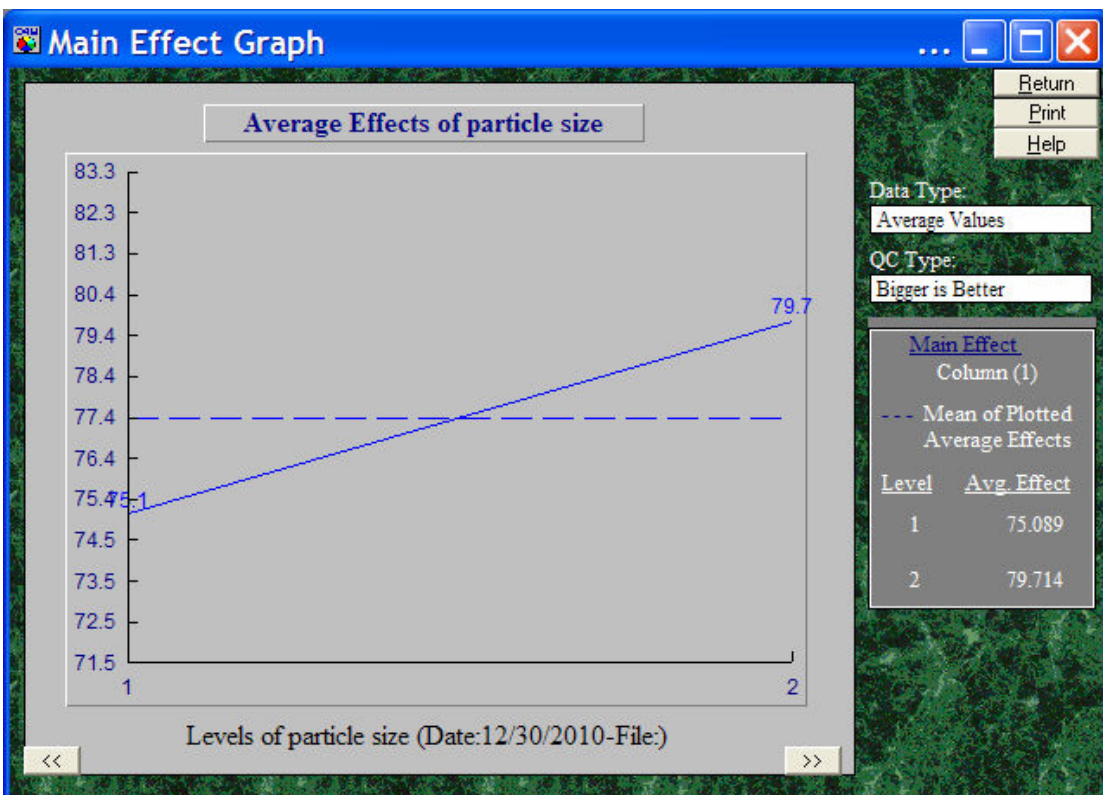
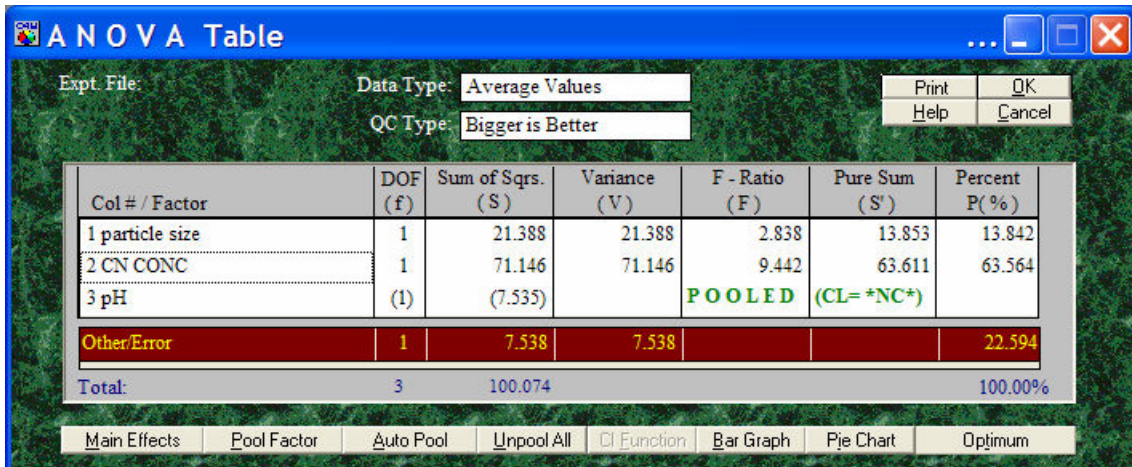


شکل(۴-۴): نمودار مصرف سیانور

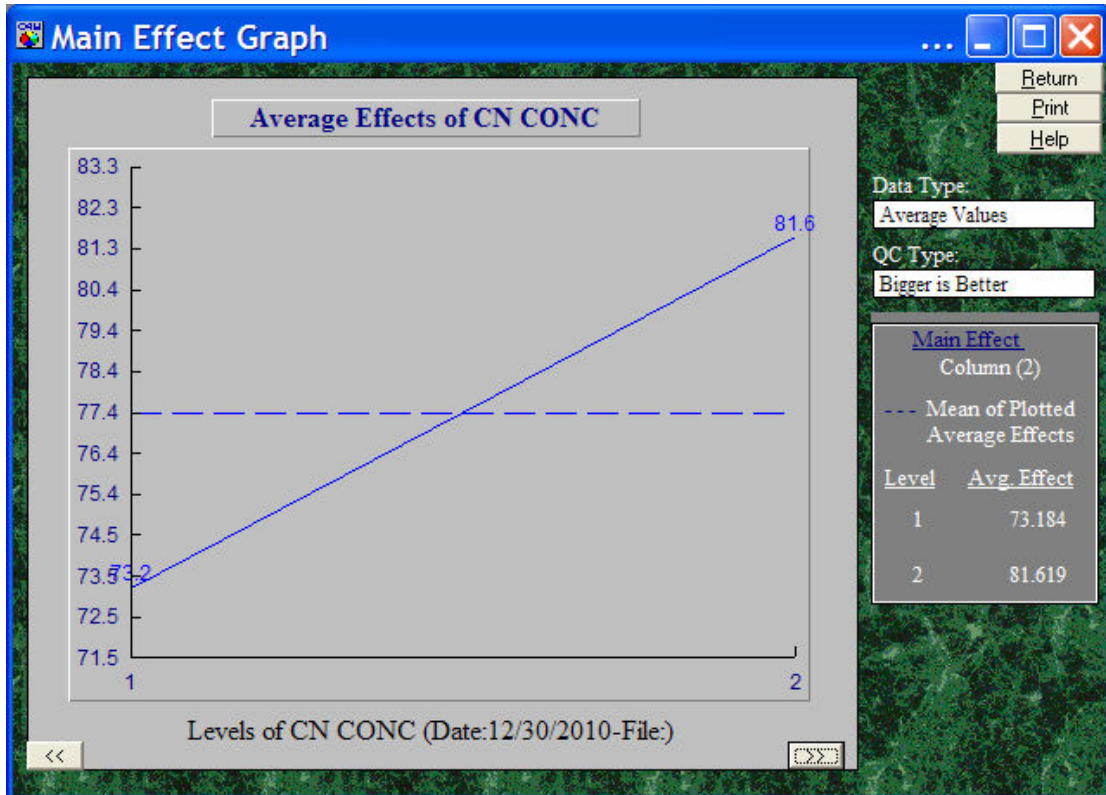


شکل(۵-۴): نمودار بازدهی اقتصادی-زمان

جدول(۴-۷): جدول ANOVA بازیابی طلا

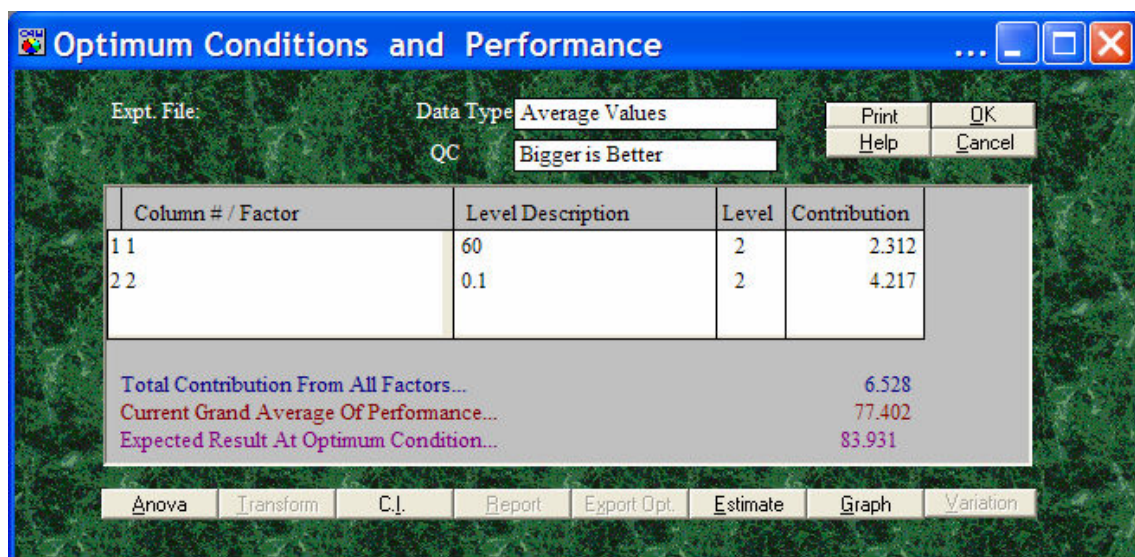


شکل(۴-۶): نمودار تاثیر دانه‌بندی بر بازیابی طلا

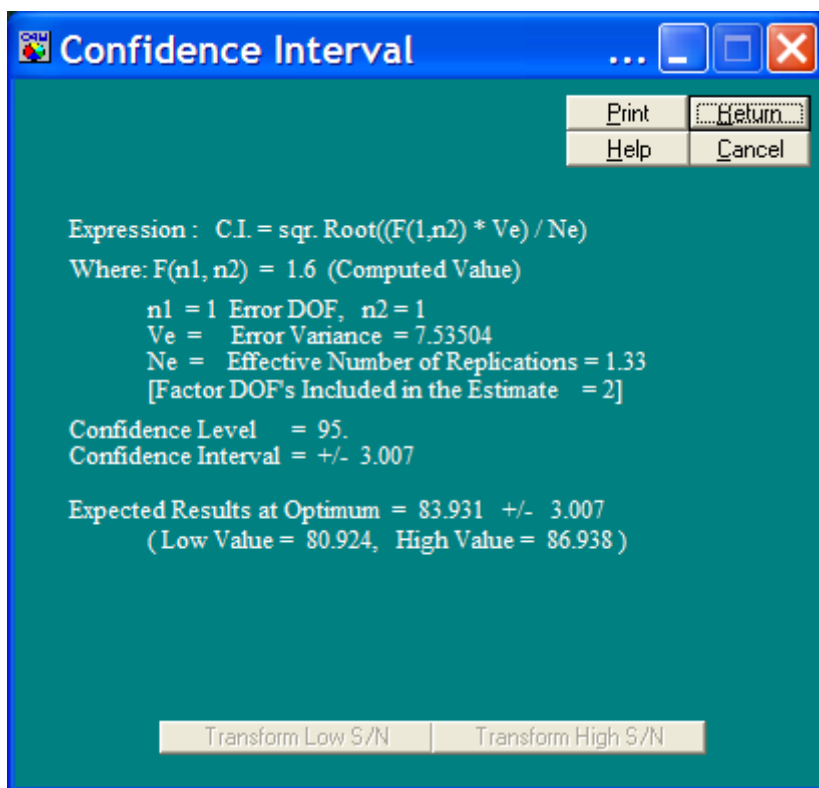


شکل (۷-۴): نمودار تاثیر غلظت سیانور بر بازیابی طلا

جدول (۸-۴): شرایط بهینه بازیابی طلا



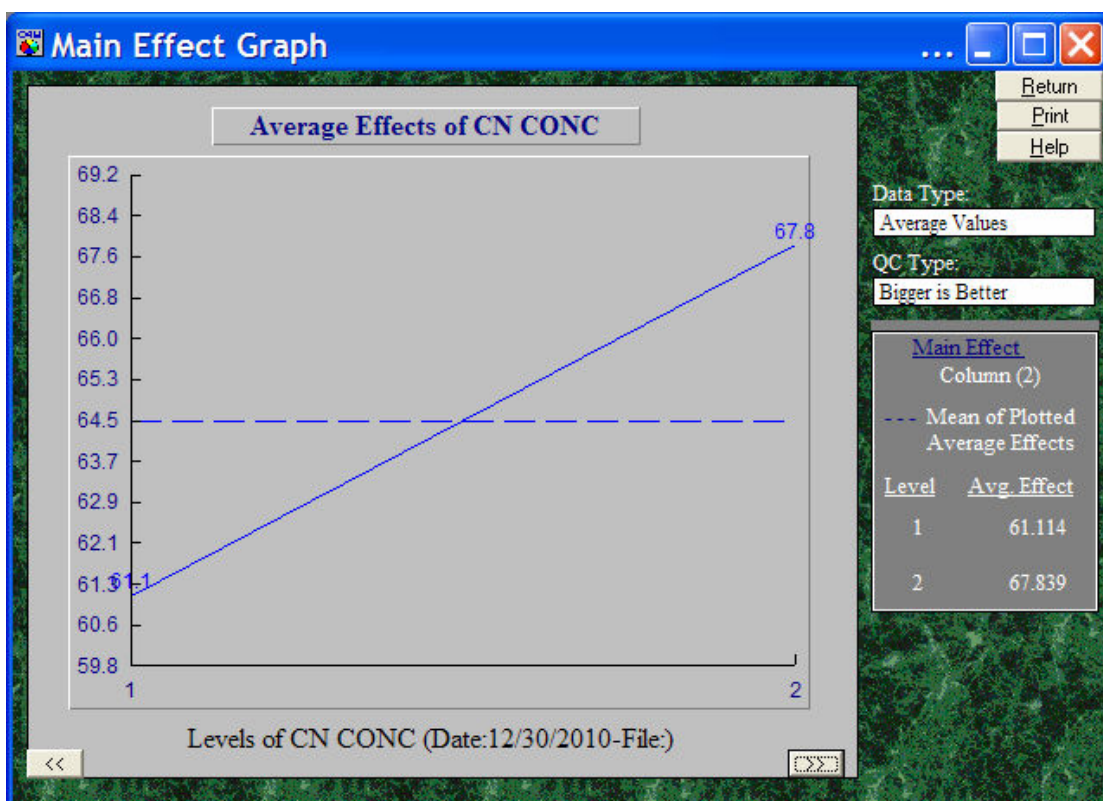
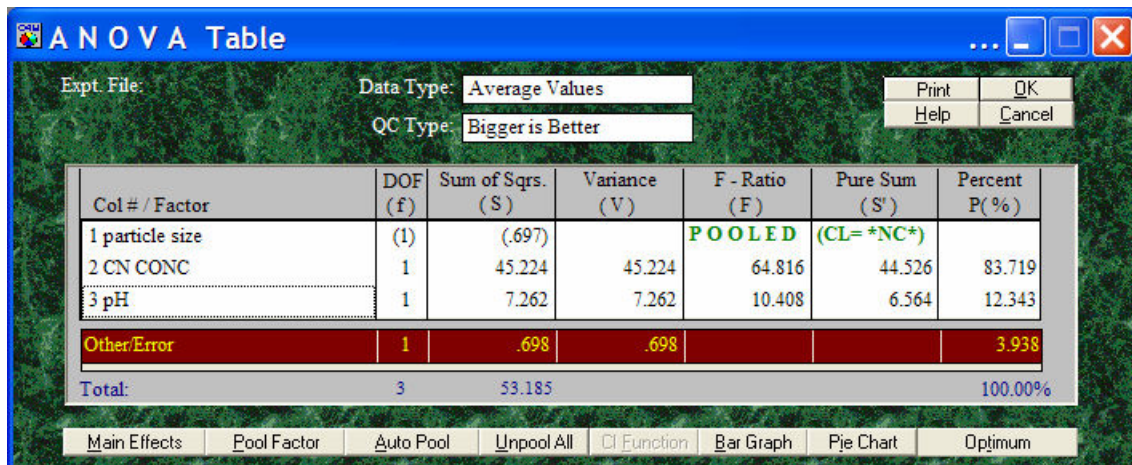
جدول (۹-۴): فاصله اطمینان برای بازیابی طلا در شرایط بهینه



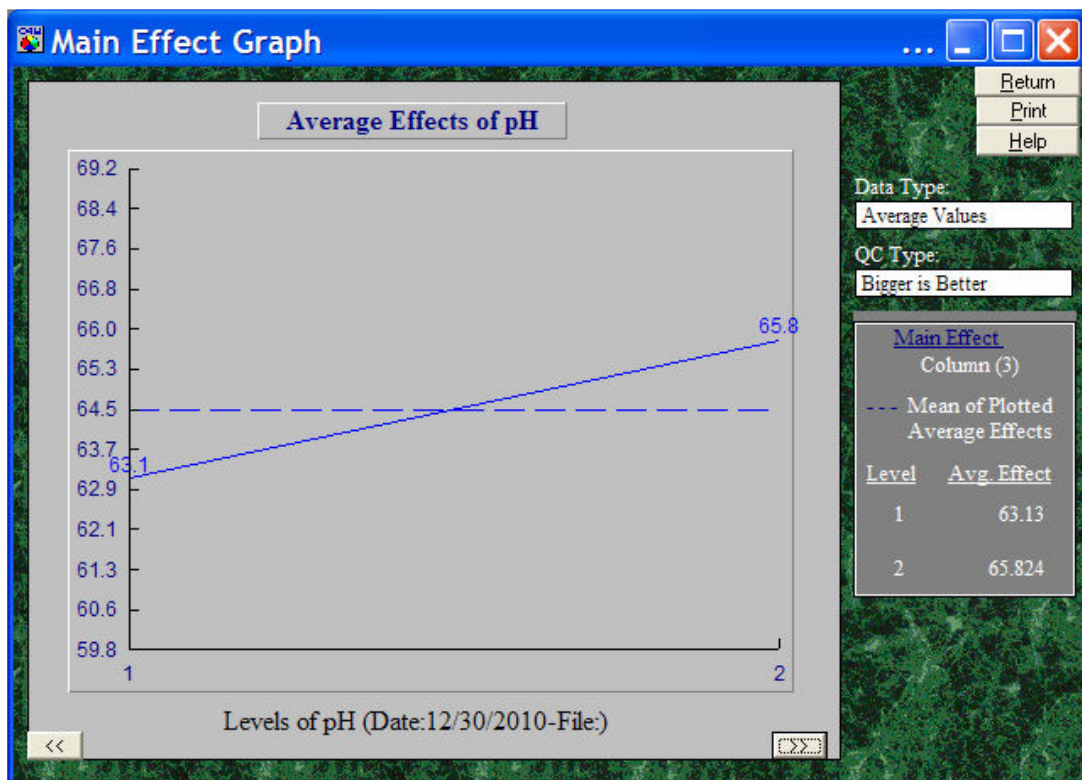
### ۲-۲-۳- ارزیابی بازیابی نقره

ارزیابی آماری نتایج آزمایش‌ها طبق جدول ANOVA نشان می‌دهد عوامل موثر بر بازیابی نقره در این آزمایشها غلظت سیانور و pH بوده است (جدول ۱۰-۴). شکل (۸-۴) و شکل (۹-۴) نمودار تاثیر غلظت سیانور و pH بر بازیابی نقره را نشان می‌دهد. افزایش غلظت سیانور و افزایش pH باعث افزایش بازیابی نقره می‌شود. با توجه به این نتایج شرایط بهینه برای بازیابی نقره عبارت است از: زمان خردایش (دانه بندی) ۳۰ دقیقه ( $d_{80}=150$  میکرون)، غلظت سیانور  $1/0$  درصد، درصد جامد  $40$  درصد،  $pH = 10/9$ . در این شرایط نقره قابل بازیابی است. جدول (۱۱-۴) و جدول (۱۲-۴) به ترتیب شرایط بهینه و فاصله اطمینان برای بازیابی در شرایط بهینه را نشان می‌دهند. طبق این فاصله اطمینان نتایج آزمایش‌ها معتبر می‌باشد. زیرا آزمایش شماره ۴ مطابق با شرایط بهینه بوده و بازیابی آن برابر با  $68/77$  در بازه  $68/27$  تا  $70/10$  قرار می‌گیرد.

جدول(۱۰-۴): جدول ANOVA بازیابی نقره

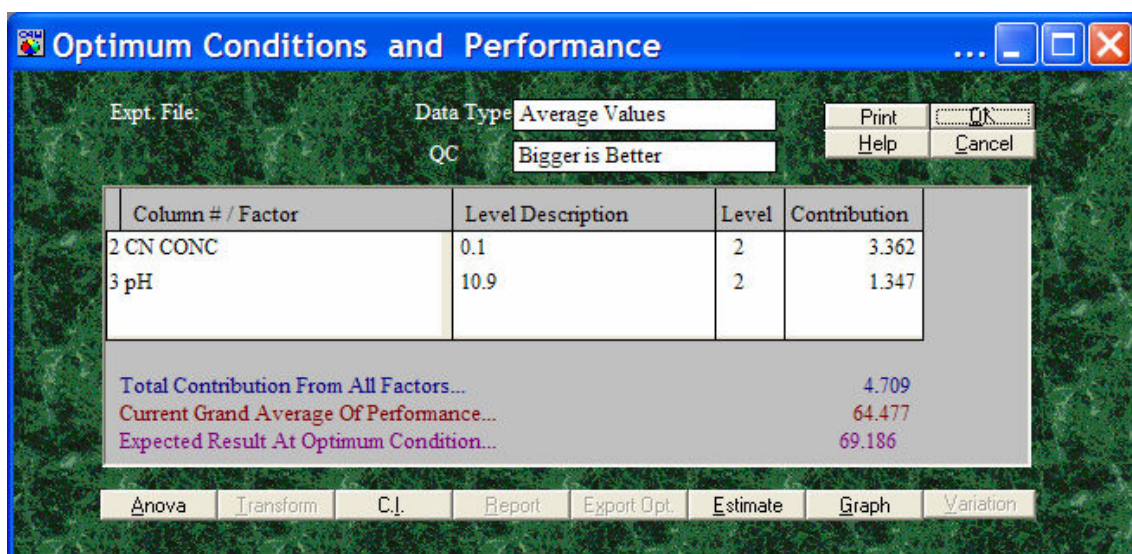


شکل(۸-۴): نمودار تاثیر غلظت سیانور بر بازیابی نقره

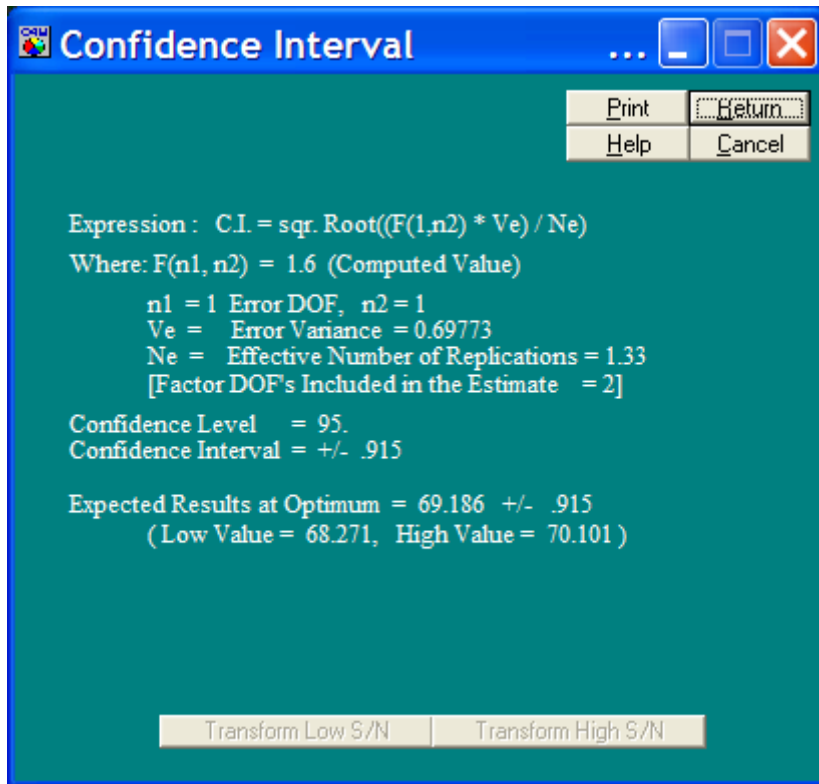


شکل (۹-۴): نمودار تاثیر pH بر بازیابی نقره

جدول (۱۱-۴): شرایط بهینه بازیابی نقره



جدول (۱۴-۲): فاصله اطمینان برای بازیابی نقره در شرایط بهینه



### ۳-۲-۳- ارزیابی بازدهی اقتصادی

با توجه به متفاوت بودن شرایط بهینه برای بازیابی نقره و طلا و در نتیجه متفاوت بودن مصرف سیانور انتخاب شرایط بهینه کلی بدون در نظر گرفتن ملاحظات اقتصادی مشکل است. لذا در این بخش با در نظر گرفتن ارزش طلا و نقره بازیابی شده، هزینه سیانور مصرفی، هزینه آهک مصرفی و انرژی مورد نیاز برای خردایش نسبت به انتخاب شرایط بهینه کلی اقدام شده است. برای این منظور قیمت یک گرم طلا ۴۸۹۷۰ تومان، قیمت یک گرم نقره ۱۰۶۰ تومان، قیمت یک کیلو سیانور ۳۵۰۰ تومان، قیمت آهک ۱۰۰ تومان بر کیلوگرم و هزینه یک کیلووات ساعت برق مصرفی ۴۰ تومان در نظر گرفته شده است. بازدهی اقتصادی هر آزمایش طبق رابطه زیر محاسبه شده است.

$$R_E = R_{Au} \times G_{Au} \times 48970 + R_{Ag} \times G_{Ag} \times 1060 - C_C \times 3500 - E \times 40 - LC \times 100$$

در این رابطه  $R_E$  بازدهی اقتصادی،  $R_{Au}$ ،  $G_{Au}$  و  $R_{Ag}$  به ترتیب بازیابی و عیار طلا و نقره و  $C_C$  مصرف سیانور،  $E$  میزان مصرف انرژی برای خردایش و  $LC$  میزان مصرف آهک به ازای یک تن کانسنگ می‌باشد

ارزیابی آماری نتایج آزمایش‌ها طبق جدول ANOVA نشان می‌دهد عوامل موثر بر بازدهی اقتصادی عملیات در این آزمایشها غلظت سیانور و دانه‌بندی بوده است (جدول ۱۳-۴) (جدول ۷-۴).

شکل (۱۰-۴) و شکل (۱۱-۴) نمودار تاثیر دانه‌بندی و غلظت سیانور بر بازدهی اقتصادی را نشان می‌دهد. کاهش اندازه دانه‌بندی (افزایش زمان خردایش) و افزایش غلظت سیانور باعث افزایش بازدهی اقتصادی می‌شود.

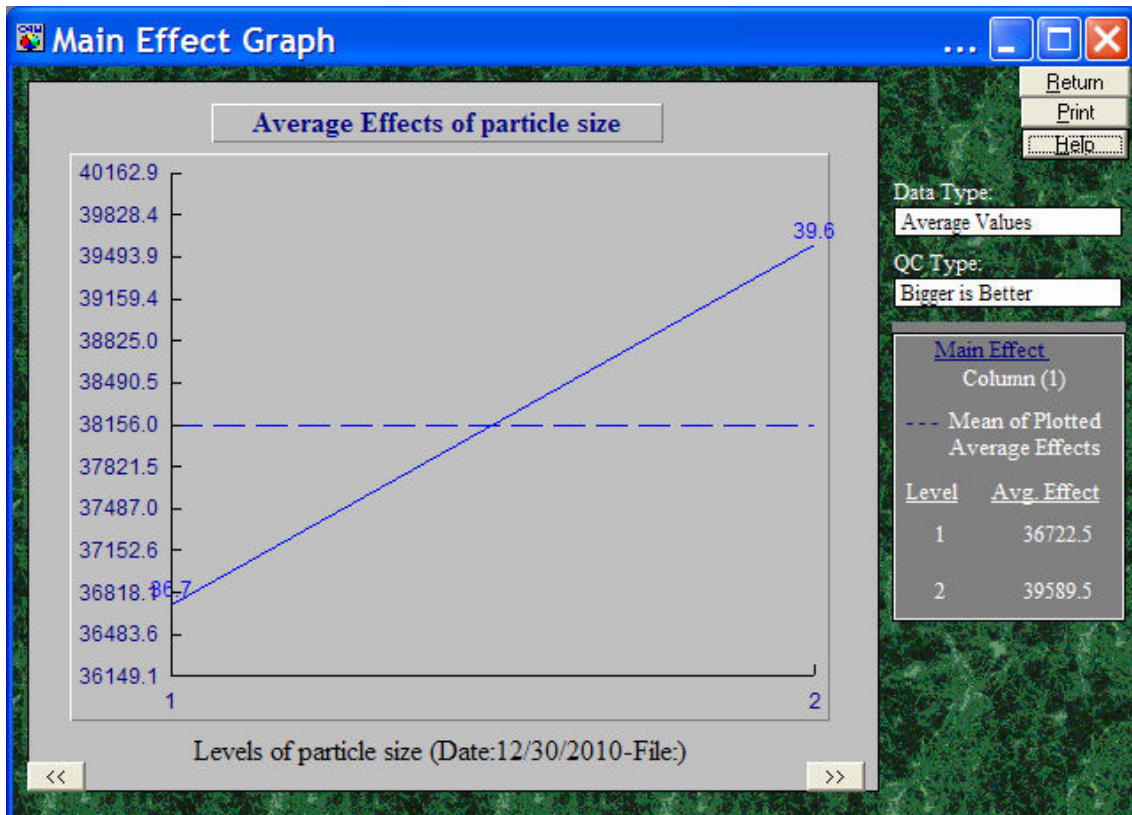
با توجه به این نتایج شرایط بهینه برای بازدهی اقتصادی عبارت است از: زمان خردایش (دانه بندی) ۶۰ دقیقه خردایش ( $d80 = 100$  میکرون)، غلظت سیانور ۰/۱ درصد، درصد جامد ۴۰ درصد، pH نیز در حدود ۱۰/۴ (pH طبیعی محلول). جدول (۱۴-۴) و جدول (۱۵-۴) به ترتیب شرایط بهینه و فاصله اطمینان برای بازدهی اقتصادی در شرایط بهینه را نشان می‌دهند. طبق این فاصله اطمینان و آزمایشات انجام شده نتایج گرفته شده معتبر می‌باشد. زیرا آزمایش شماره ۴ مطابق با شرایط بهینه بوده و بازدهی اقتصادی آن برابر با ۴۰۷۹۴ تومان در بازه ۳۹۵۰۶ تا ۴۱۲۷۵ قرار می‌گیرد.

#### جدول (۱۳-۴): جدول ANOVA بازدهی اقتصادی

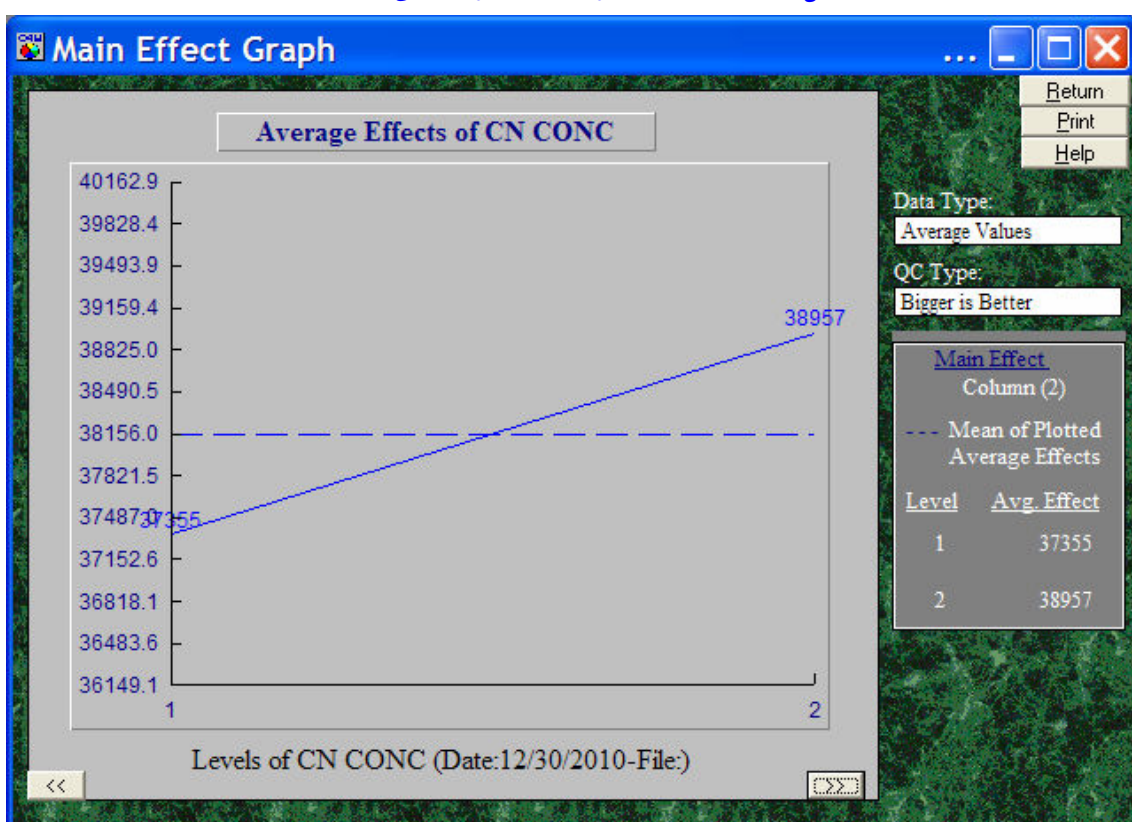
The screenshot shows the ANOVA Table software interface with the following data:

Col # / Factor	DOF (f)	Sum of Sqrs. (S)	Variance (V)	F - Ratio (F)	Pure Sum (S')	Percent P(%)
1 particle size	1	8219689	8219689	12.621	7568440	66.173
2 CN CONC	1	2566404	2566404	3.94	1915155	16.744
3 pH	(1)	(651249)		<b>POOLED (CL= *NC*)</b>		
<b>Other/Error</b>	<b>1</b>	<b>651249</b>	<b>651249</b>			<b>17.083</b>
Total:	3	11437342				100.00%

Below the table, there are several buttons: Main Effects, Pool Factor, Auto Pool, Unpool All, CI Function, Bar Graph, Pie Chart, and Optimum.

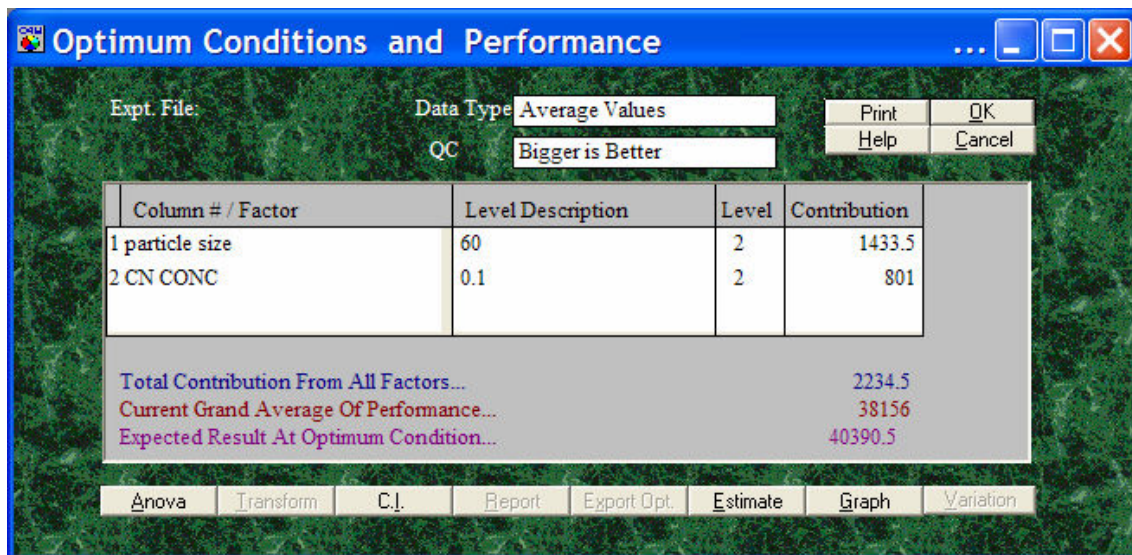


شکل(۱۰-۴): نمودار تاثیر دانه‌بندی بر بازدهی اقتصادی

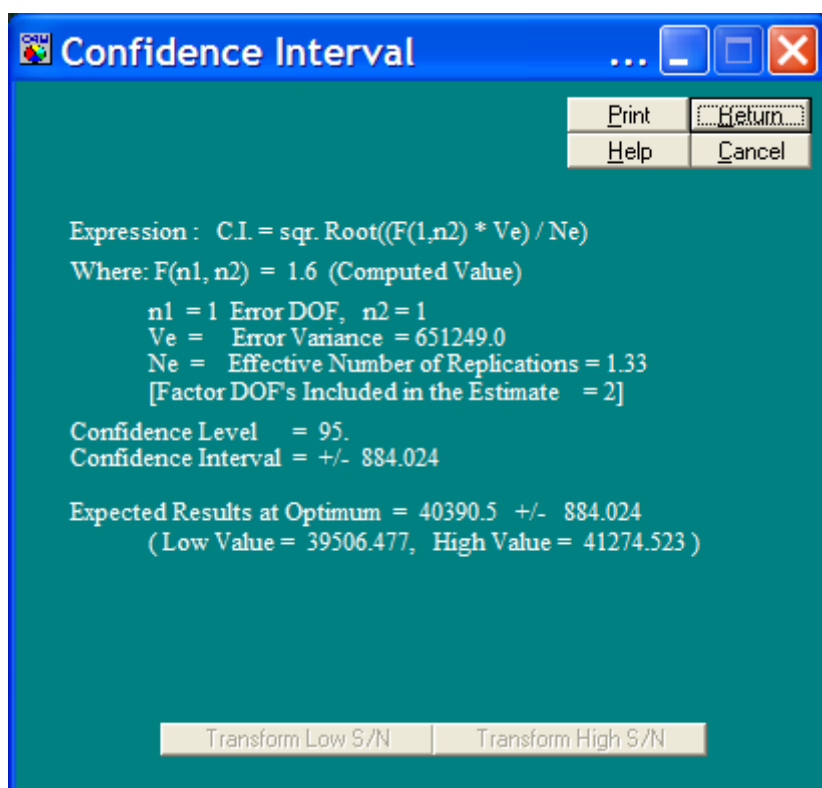


شکل(۱۱-۴): نمودار تاثیر غلظت سیانور بر بازدهی اقتصادی

جدول(۱۴-۴): شرایط بهینه بازدهی اقتصادی



جدول(۱۵-۴): فاصله اطمینان برای بازدهی اقتصادی در شرایط بهینه



# فصل ۵

## نتیجه گیری و

## پیشنهادات

### ۱- نتیجه گیری

۱- طبق مطالعات کانی‌شناسی نمونه کانسنگ طلای بزمان حاوی کوارتز، اورتوکلاز و ژیپس بوده و دارای بیش از ۸۰ درصد اکسید سیلیسیم ( $\text{SiO}_2$ ) است که نشان می‌دهد کانسنگ از نوع سیلیسی است.

۲- نمونه کانسنگ طلای بزمان مورد بررسی حاوی  $1/1 \text{ ppm}$   $2/95 \text{ ppm}$  نقره است.

۳- در روش ثقلی کاهش دانه‌بندی موجب افزایش بازیابی و عیار طلا می‌شود. بطوریکه در دانه‌بندی ۸۰-۸۰ مش بازیابی  $2/6 \text{ ppm}$  و عیار  $6 \text{ ppm}$  بدست آمد.

۴- شرایط بهینه برای بازیابی طلا به روش سیانوراسیون عبارت است از: زمان خردایش (دانه بندی)  $6/00$  دقیقه خردایش ( $d80=100$  میکرون)، غلظت سیانور  $1/0$  درصد، درصد جامد  $4/0$  درصد،  $pH 10/4$  (طبيعي محلول) و زمان لیچینگ ۷ ساعت. در این شرایط  $8/4$  درصد طلا قابل بازیابی است.

- ۵- شرایط بهینه برای بازیابی نقره بدین قرار تعیین شد: زمان خردایش(دانه بندی) ۳۰ دقیقه (d<sub>80</sub>=۱۵۰ میکرون)، غلظت سیانور ۱/۰ درصد، درصد جامد ۴۰ درصد، pH نیز ۱۰/۹ و زمان لیچینگ ۷ ساعت. در این شرایط ۶۹ درصد نقره قابل بازیابی است
- ۶- شرایط بهینه برای بازدهی اقتصادیه این شرح بدست آمد: زمان خردایش(دانه بندی) ۶۰ دقیقه خردایش(d<sub>80</sub>=۱۰۰ میکرون)، غلظت سیانور ۱/۰ درصد، درصد جامد ۴۰ درصد، pH نیز در حدود ۱۰/۴ (pH طبیعی محلول) و زمان لیچینگ ۷ ساعت. در این شرایط بازیابی طلا ۸۴ و بازیابی نقره ۶۹ درصد حاصل می شود.

## ۲- پیشنهادات

نتایج بدست آمده از آزمایش های سیانوراسیون بسیار مطلوب می باشد. لذا پیشنهاد می شود در صورت وجود ذخیره قابل توجه، اکتشافات تفصیلی ادامه یافته و آزمایشات تکمیلی بر روی نمونه های بدست آمده از مغزه های حفاریها انجام گیرد.

## **منابع فصل دوم**

کریمی، مهدی محمد، ۱۳۸۹، اکتشاف عمومی طلا در محدوده چاه نعلی بزمان، معاونت اکتشاف، سازمان زمین شناسی و اکتشافات معدنی کشور.

پیوستها

# نتائج آنالیزهای

## شیمیایی

(۲۴ برگ)